



БИООРГАНИЧЕСКАЯ ХИМИЯ

том 10 * № 4 * 1984

УДК 577.112.6:541.69

ЗАВИСИМОСТЬ МЕЖДУ СТРОЕНИЕМ И СВОЙСТВАМИ ЦИКЛОДЕПСИПЕНТИДОВ ВАЛИНОМИЦИНОВОГО РЯДА

ХI. * [L-Pro², L-Pro⁶, L-Pro¹⁰, L-Pro¹⁴]- И [D-Pro⁴, D-Pro⁸, D-Pro¹², D-Pro¹⁶] ГЕКСАДЕКАВАЛИНОМИЦИНЫ

Балашова Т. А., Фонина Л. А., Сенявина Л. Б.,
Старовойтова Н. В., Авотинъ Г. Я., Иванов В. Т.,
Овчинников Ю. А.

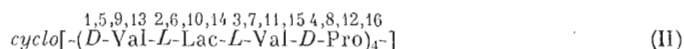
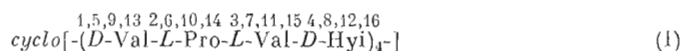
Институт биоорганической химии им. М. М. Шемякина
Академии наук СССР, Москва

Спектральными и экстракционными методами изучены конформационные особенности и ионофорные свойства гексадекааналогов валиномицина *cyclo[-(D-Val-L-Pro-L-Val-D-Hyi)₄-]* и *cyclo[-(D-Val-L-Lac-L-Val-D-Pro)₄-]*. В исследованных гексадекадепсипептидах наблюдается сложное конформационное равновесие свободных форм, в котором принимают участие формы как с *trans*-, так и с *чис*-конфигурацией связи Val-Pro. Замена остатков D-Hyi в гексадекавалиномицине на остатки D-Pro приводит к предпочтительности *чис*-конфигурации третичной амидной связи в полярной среде, а аналогичная замена молочной кислоты — к предпочтительности этой конфигурации в средах любой полярности и к появлению в связи с этим конформаций, не реализующихся в валиномицине и его гексадекааналоге. Предложены конформации основных форм исследованных соединений.

Оба пролинсодержащих гексадекааналога валиномицина являются достаточно эффективными комплексонами с выраженной склонностью к образованию с ионами щелочных металлов комплексов состава макроцикл — катион, 2:1.

Оба аналога образуют эквимольные комплексы с органическими катионами, такими, как тетраметиламмоний, ацетилхолин, гуанидиний. При экстракции исследованными депептидами этих катионов из водной среды в органическую проявляется высокая избирательность по отношению ко всем щелочным катионам.

Ранее было показано, что аналоги валиномицина, имеющие больший размер цикла (четыре тетрадепсипептидных звена вместо трех у валиномицина), в целом подобны природному антибиотику по своим конформационным возможностям, но вследствие большого размера молекуллярной полости существенно отличаются от него избирательностью комплексообразования. Например, гексадекавалиномицин обнаруживает в растворах щелочных солей избирательность к ионам цезия [2], а в бислойных мембрanaх он в отличие от валиномицина оказался эффективным переносчиком таких больших органических катионов, как тетраметиламмоний и ацетилхолин [3]. Выраженную склонность к связыванию и переносу в органическую fazу объемных катионов обнаружил в опытах по экстракции гексадекаизолейциномицина [4], отличающийся от соответствующего производного валиномицина большей липофильностью. В свете изложенного представляло интерес изучить конформационные, металсвязывающие и ионофорные свойства пролинсодержащих гексадекааналогов валиномицина (I) и (II), синтез которых приведен в работе [5]:



* Сообщение X см. [1]. Hyi — α -оксиизовалериановая кислота, AcCh — ацетилхолин, Gu — гуанидин.

Как и в предыдущих сообщениях, для решения поставленных задач использовался комплекс физико-химических методов: КД, ИК- и ЯМР-спектроскопия, кондуктометрия и солевая экстракция в двухфазных системах.

Конформационные свойства свободных циклодепептидов (I) и (II)

Область Амид А ИК-спектров соединений (I) и (II) в CCl_4 и CHCl_3 содержит интенсивные полосы с ν_{NH} 3321 и 3324 cm^{-1} (рис. 1a) и 3316 и 3320 cm^{-1} (рис. 1б) соответственно, указывающие на участие протонов групп NH во внутримолекулярных водородных связях (ВМС). В области полос валентных колебаний CO-групп присутствуют нерасщепленные полосы сложноэфирных карбонилов 1751 (CCl_4) и 1747 cm^{-1} (CHCl_3) депептида (I) и 1752 (CCl_4) и 1746 cm^{-1} (CHCl_3) депептида (II), положение которых говорит о неучастии COO-групп в образовании водородных связей [6]. В области 1667–1650 cm^{-1} (соединение (I)) и $\sim 1662 \text{ cm}^{-1}$ (соединение (II)) наблюдаются перекрывающиеся полосы валентных колебаний, отвечающие группам NCO вторичных и третичных амидов. Указанный интервал частот согласуется с участием NCO-групп вторичных амидов в образовании ВМС [1, 2, 4, 6]. Вместе с тем у соединения (I) в CCl_4 и CHCl_3 , а у соединения (II) при переходе от CCl_4 к CHCl_3 в области Амид А ИК-спектра появляется слабо выраженная более коротковолновая полоса с $\nu_{\text{NH}} > 3400 \text{ cm}^{-1}$. Наличие в спектре коротковолновых полос Амид А указывает на ослабление системы водородных связей по сравнению с гексадекавалиномицином [2] и на появление в молекуле наряду с участвующими в образовании водородных связей свободных NH-групп.

Кривые КД для соединения (I) слабее зависят от природы растворителя, чем для соединения (II) (кривые 1–3 на рис. 2a, б). Если в спектре КД депептида (I) при переходе от неполярного (гексан – диоксан, 2,5 : 1) растворителя к полярному (EtOH , $\text{EtOH} - \text{H}_2\text{O}$, 3 : 1) (рис. 2a, 1 → 2 → 3) наблюдается небольшое изменение величины эффекта Коттона и его положения, то в КД-спектрах депептида (II) в этом случае резко изменяются как положение, так и величина регистрируемого эффекта

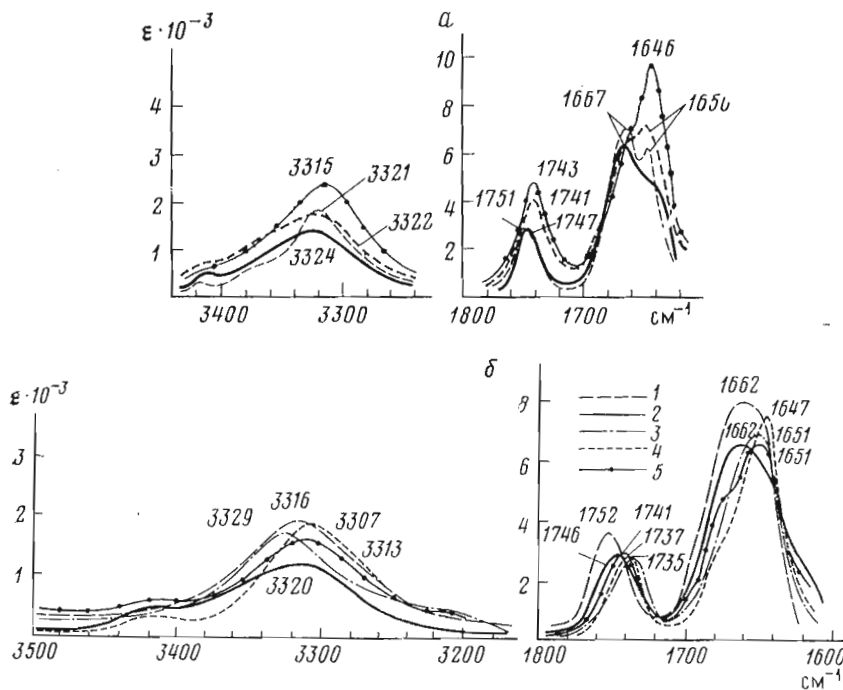


Рис. 1. ИК-спектры соединений (I) (a) и (II) (б) в CCl_4 (1), CHCl_3 (2), их Na^+ - (3), K^+ - (4) и Cs^+ -комплексов (5) в CHCl_3

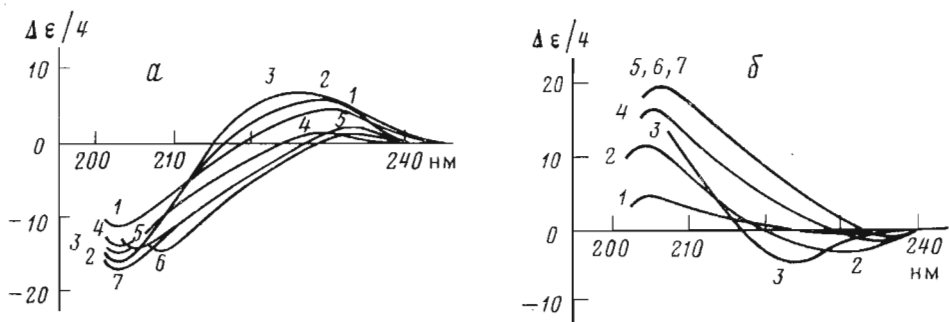


Рис. 2. Спектры КД соединений (I) (а) и (II) (б): 1 — гептан — диоксан, 2,5 : 1; 2 — EtOH; 3 — EtOH — H₂O, 3 : 1 (а) и 1 : 5 (б); 4 — 1 М NaClO₄; 5 — 0,7 · 10⁻² М KCl; 6 — 2 · 10⁻² М CsCl; 7 — 0,6 · 10⁻² М RbCl

Коттона (рис. 2б, 1→2→3). Подобный ход изменения кривых для десипептида (II) указывает на его значительные конформационные перестройки при изменении полярности среды.

Анализ спектров ЯМР также показывает, что циклодесипептиды претерпевают конформационные перестройки при смене растворителя в разной степени. Так, общий вид ¹H-ЯМР-спектра соединения (II) в CDCl₃ отвечает присутствию ~90% основной формы и ~10% минорных форм, отделенных от нее высоким (в шкале ЯМР-частот) энергетическим барьером (табл. 1, 2). Наличие в спектрах ¹H- и ¹³C-ЯМР десипептида (II) в слабополярной среде сигналов основной формы, отвечающих сигналам одного его тетрапептидного фрагмента (табл. 2, 3), свидетельствует о том, что основная форма этого десипептида имеет C₄-симметричную структуру. Спектры ¹³C-ЯМР позволяют решить вопрос о конфигурации третичной амидной связи L-Val-D-Pro. Положение сигнала ¹³C₇ остатка D-Pro (24,23 м.д., табл. 3) и значение $\Delta\delta_{\text{св}}$ этого же остатка (5,17 м.д., табл. 4) говорят о реализации в основной форме десипептида (II) транс-конфигурации третичной амидной связи [7—9]. Для оценки степени структурного экранирования NH-групп был использован дифференциальный релаксационный эффект, вызываемый иминоксильным радикалом для экранированных и экспонированных NH [10]. Наблюданное при добавлении 2,2,6,6-тетраметилпиперидин-1-оксила в раствор десипептида (II) в CDCl₃ незначительное уширение сигналов NH (30 (D-Val) и 27 Гц/моль (L-Val)) демонстрирует достаточно эффективное экранирование этих протонов от растворителя. Об этом же свидетельствует и то, что изменение концентрации раствора десипептида (II) в CDCl₃ от 8,0 · 10⁻² до 2,5 · 10⁻³ М практически не влияет на химические сдвиги сигналов NH (табл. 2). Вывод об экранировании всех NH-протонов от растворителя согласуется с данными, полученными из ИК-спектров, об участии NH в образовании BMBC. При анализе значений температурных коэффициентов химических сдвигов сигналов NH основной формы не найдено корреляции полученных значений $\Delta\delta/\Delta T$ (табл. 2) и факта участия всех NH основной формы в BMBC. Оценку значений полученных $\Delta\delta/\Delta T$ с точки зрения экранированности NH от растворителя затрудняет существование в растворе десипептида (II) равновесия нескольких конформационных форм. Однако можно предположить, что большое значение $\Delta\delta/\Delta T$ N-протонов связано с меньшей устойчивостью BMBC, образованных NH этих остатков. При этом NH-протоны остатков D-Val образуют BMBC типа 4→1, стабилизируя β-изгибы во фрагментах L-Lac-L-Val-D-Pro-D-Val*. С образованием β-изгибов в указанных фрагментах связан аномальный сдвиг одного из протонов группы C⁶H₂ остатка D-Pro (~4,2 м.д., табл. 2) [12], аналогичный наблюдаемому как в пролинсодержащих октааналогах валиномицина [13], так и в D-пролинсодержащем додеканалоге валиномицина [1].

* В десипептиде (II) не образуются γ-изгибы с D-Pro-остатком в i+1-м положении, стабилизированные BMBC типа 3→1 L-Val(CO...HN)D-Val, на что указывает значение химического сдвига ¹³C⁶ остатка D-Pro (29, 40 м.д., табл. 3), не характерное для таких структур [11].

Химические сдвиги (м.д.) и константы спин-спинового взаимодействия (Гц, в скобках) * протонов соединения (I) и его комплексов ($t \sim 30^\circ\text{C}$)
 В квадратных скобках приведены значения $(\Delta\delta/\Delta T) \cdot 10^3$ м.д./град

Растворитель	Концен- трация, 10^{-2} М	Фрагмент												Содер- жание форм, %		
		СaH остатков						NH остатков								
		D-val			L-Pro			D-Hyi			L-val					
CCL ₄ – CDCl ₃ (9 : 1)	0,5	3,45 3,29	3,52 4,14	3,82 4,02	4,02 4,2	4,77 (4,0) (9,2)	4,01 (9,2)	4,55 4,2	4,07 (7,0)	4,44 (5,5)	5,68 5,17 (~4,0)	7,91 7,51 (6,0)	6,36 6,48 (10,7)	7,26 7,48 (10,0)	7,48 7,66 (7,3)	~85 (B) **
CDCl ₃	2,0	3,26 3,40	3,57 4,08	3,91 (10,4) (9,8)	4,09 (4,3) (7,2)	4,83 4,07 4,41 (10,4) (7,8)	4,07 (10,4)	4,62 4,69 (7,9)	4,47 (9,0)	4,48 (5,5)	5,74 5,23 5,20 5,14; 5,20	7,92 7,45 7,43 7,78 7,94 8,3	6,48 [~4,0] (10,7); 7,42 (9,0); 7,57 (7,5); 7,71 (8,1); 7,67 [14,0]	7,40 7,42 7,57 7,57 7,37 [14,8]	7,48 7,54 [3,0] (8,6)	~5 60 (B)
CD ₃ C ₆ D ₁₁	1,3	3,44 3,33	3,53 4,19	3,80 (10,0) (10,6)	4,06 (10,1)	5,07 (3,0)	4,00 (10,1)	4,62 (7,5)	4,48 (7,9)	4,38 (7,0)	5,87 5,98 5,98 5,98 5,86 5,86 5,86 5,86	8,15 8,15 8,15 8,15 8,08 8,08 8,08 8,08	8,37 7,67 7,67 7,67 7,96 7,96 7,96 7,96	[2,0] [2,0] [2,0] [2,0] [3,4] [10,2] [10,4] [10,4]	7,54 7,54 7,54 7,54 7,54 7,54 7,54 7,54	95 (B) **
CD ₃ C ₆ D ₅	1,5	3,03 3,75;	3,64; 3,86;	3,86 (9,0) (9,9)	4,46; (4,2)	4,24 (10,0)	4,65 (10,0)	4,51 (7,7)	4,58 (9,2)	4,58 (6,6)	5,58 5,58 5,58 5,58 5,42 5,42 5,42 5,42	8,30 8,30 8,30 8,30 8,08 8,08 8,08 8,08	[4,0] [4,5] [4,5] [4,5] [3,4] [10,2] [10,4] [10,4]	[4,0] [14,0] [14,0] [14,0] [3,4] [10,2] [10,4] [10,4]	7,86 7,60 7,60 7,60 7,54 7,54 7,54 7,54	80 (B) **
C ₂ D ₅ OH	1,7	3,14 3,40	3,66 4,22	3,92 (10,3) (10,4)	4,40 (2,4)	5,09 (10,0)	4,07 (10,0)	4,58 (10,0)	4,30 (7,2)	4,42 (7,0)	5,86 5,86 5,86 5,86 5,42 5,42 5,42 5,42	8,08 8,08 8,08 8,08 8,08 8,08 8,08 8,08	[4,8] [4,8] [4,8] [4,8] [4,8] [4,8] [4,8] [4,8]	[2,3] [2,3] [2,3] [2,3] [2,3] [2,3] [2,3] [2,3]	7,83 7,65 7,65 7,65 7,65 7,65 7,65 7,65	60 (B)
CD ₃ OH	2,7	—	—	—	—	—	—	—	—	—	—	8,08 8,08 8,08 8,08	[4,8] [4,8] [4,8] [4,8]	[2,3] [2,3] [2,3] [2,3]	40 (B)	
CDCl ₃ + K ⁺	5,9	3,65; —	4,07	3,93 (10,0)	3,97 (7,9)	4,77 (~7)	4,77 (~7)	4,77 (~7)	4,77 (~7)	4,77 (~7)	4,79 5,02 5,07 4,95 5,05	8,03 8,03 8,03 8,03 8,03	[3,2] [4,2] [4,2] [4,2] [4,2]	7,55 7,74 7,81 8,07 7,92	[4,9]	
CDCl ₃ + Cs ⁺	0,6	3,63; —	4,06	3,95 (8,5)	3,93 (7,5)	4,66 (~7)	4,66 (~7)	4,68 4,63 4,58	4,68 4,63 4,58	4,68 4,63 4,58	5,02 5,07 4,95 5,05	8,44 8,17 8,50 8,18	[6,4] [6,4] [2,5] [4,2]	[4,1] [2,7] [1,7] [2,7]	[4,9]	
CDCl ₃ + Tl ⁺	0,5	3,65; —	4,11	3,97	3,97	—	—	—	—	—	—	—	—	—	—	
CDCl ₃ + (CH ₃) ₄ N ⁺	0,1	3,60; —	4,04	3,89 (9,5)	3,82 (9,0)	4,63 4,63	4,63 4,63	4,63 4,63	4,63 4,63	4,63 4,63	4,95 4,95 4,95 4,95	—	—	—	—	
CDCl ₃ + Gu ⁺	0,1	3,64; —	4,05	3,93 (9,7)	3,81 (8,6)	4,05 4,05	4,05 4,05	4,58 4,58	4,58 4,58	4,58 4,58	5,05 5,05 5,05 5,05	—	—	—	—	
CDCl ₃ + AcCh ⁺	0,11	3,77; —	4,46	4,34 —	4,15 —	4,41 —	4,41 —	4,41 —	4,41 —	4,41 —	5,0 5,0 5,0 5,0	8,50 8,21 8,59	[2,0] [4,5] [4,0]	[3,3] [5,5] [3,6]	8,06 7,38 8,12	
C ₂ D ₅ OH + K ⁺	1,6	—	—	—	—	—	—	—	—	—	—	—	—	—	—	
C ₂ D ₅ OH + AcCh ⁺	—	—	—	—	—	—	—	—	—	—	—	—	—	—	—	
CD ₃ OD	—	—	—	—	—	—	—	—	—	—	—	—	—	—	—	

* $\delta J_{\text{HN}-\text{C}^{\alpha}\text{H}} = 1,09 \cdot J_{\text{HN}-\text{C}^{\alpha}\text{H}_3}$ спирт; $\Sigma J_{\text{HC}^{\alpha}\text{H}-\text{C}^{\beta}\text{H}}$ (L-Pro). ** Имеются формы минорной населенности. *** Время 50% обмена NH → ND ($\tau_{1/2}$) измерено при испарении ~0,05 мг CD₃OD.

Таблица 2
Химические сдвиги (м.д.) и константы спин-спинового взаимодействия (Гц, в скобках)* протонов соединения (II) и его комплексов ($t \sim 30^\circ\text{C}$)
В квадратных скобках приведены значения $(\Delta\delta/\Delta T) \cdot 10^3$ м.д./град

Растворитель $\text{M}_{\text{раствора}} = 10^{-2} \text{М}$	Фрагмент												
	С ₆ H ₅ D-Pro 4, 8, 12, 16				C ₆ H остатков				NH остатков				
4, 5, 9, 13	3, 7, 11, 15	2, 6, 10, 14	$L_{\text{-Val}}$	4, 8, 12, 16	$D_{\text{-Pro}}$	1, 5, 9, 13	$D_{\text{-Val}}$	3, 7, 11, 15	3, 7, 11, 15	3, 7, 11, 15	3, 7, 11, 15	3, 7, 11, 15	
CCl ₄ : CDCl ₃ (5 : 1)	0,2	3,55; 4,23	4,30(8,0)	3,99(8,9)	5,30(7,2)	4,57(7,4)	7,27 [0,3] (9,6)	8,42 [8,0] (6,4)					
CDCl ₃	0,25	—	4,43(7,5)	4,44(9,9)	5,32(6,9)	4,64(7,0)	7,32	8,03					
CDCl ₃	0,8	3,57; 4,20	—	—	—	—	7,30 [−2,4] (9,7)	8,05 [45,2] (6,7)					
C ₂ D ₅ OH	1,8	—	—	—	—	—	7,75 [4,0] (8,7)	8,45 [7,6] (7,2)					
CD ₃ OH	2,0	—	—	—	—	—	7,54 [1,2] (10,4); 7,69 [0,6] (7,2); 7,76 [4,0] (6,5); 7,91 [3,9] (9,3); 8,09 [7,0]; 8,11 (8,4); 8,12 [5,8]; 8,34 [10,0] (11,0)						
CD ₃ OH	0,2	3,64; 4,19	4,01(9,0)	3,93(40,5)	5,23(7,0)	4,43(11,2)	7,34 [~0,1] (8,1)	8,08 [12,4] (4,7)					
CDCl ₃ + Na ⁺	1,8	3,64; 4,22	4,08(8,2)	3,98(10,0)	5,33(6,8)	4,49(9,8)	7,39 [2,4] (7,8)	8,06 [12,7] (4,7)					
CDCl ₃ + K ⁺	0,1	3,65; 4,14	4,08(8,0)	4,02(9,6)	5,27(7,0)	4,55(9,3)	7,49 [4,0] (7,4)	8,06 [5,0] (4,6)					
CDCl ₃ + Cs ⁺	0,2	3,67; 4,16	4,25	4,08(10,3)	5,49	4,61	7,43 [1,7] (8,0)	7,89 [4,2] (4,8)					
CDCl ₃ + Ti ⁺	0,1	3,61; 4,06	3,75(9,2)	3,92(9,5)	5,27	4,57	7,98 [2,3] (4,8)	8,35 [3,3] (3,6)					
CDCl ₃ + (CH ₃) ₄ N ⁺	0,1	3,63; 4,12	3,84	4,01(9,2)	5,41(7,0)	4,54(7,3)	7,70 [3,6] (4,8)	7,99 [2,5] (3,5)					
CDCl ₃ + Gu ⁺	0,1	—	—	—	5,25	—	7,99 [2,0] (4,9)	8,35 [2,3] (3,6)					
CDCl ₃ + AcCh ⁺	0,1	3,75; ~4,2	—	3,90 (10,0)	—	4,49 (7,3)	7,53 [2,7] (8,0)	8,45 [3,5] (5,2)					
C ₂ D ₅ OH + K ⁺	1,8	3,74; ~4,2	4,22(8,2)	4,49 (10,2)	—	—	7,64 [4,2] (7,9)	8,06 [5,4] (5,8)					
CD ₃ OH + K ⁺	1,8	—	4,45	4,24(7,6)	4,46 (9,5)	—	4,57	7,66 [2,0] (8,4)	8,09 [3,4] (5,7)				
C ₂ D ₅ OH + Ti ⁺	0,3	—	—	—	—	—	7,84 [4,8] (7,6)	8,41 [6,0] (5,6)					
C ₂ D ₅ OH + Gu ⁺	0,3	—	—	—	—	—	7,82 [7,3]	8,44 [5,5]					
C ₂ D ₅ OH : CDCl ₃ (9 : 1) + Gu ⁺	0,3	—	—	—	—	—	7,79 [7,1]	8,44 [4,6]					
C ₂ D ₅ OH : CDCl ₃ (7 : 3) + Gu ⁺	0,3	—	—	—	—	—	7,79 [3,7] (6,4)	8,09 [4,3] (3,8)					
C ₂ D ₅ OH : CDCl ₃ (1 : 1) + Gu ⁺	0,3	—	—	—	3,95 (8,8)	4,07 (9,3)	5,41						

—³ См. примечания к табл. 1.

Химические сдвиги (м.д.) ^{13}C -ЯМР соединений (I) и (II) и их комплексов

Соединение	Растворитель	Концентрация, 10 ⁻² М	Фрагмент			
			C_P^δ	$L\text{-}(D)\text{-Pro}$	СО остатков	
(I)	CDCl ₃	7,2	29,85 32,05 28,18*	24,26 22,55 24,56*	169,36; 171,35; 171,53; 173,38	170,00; 171,35; 174,53; 172,86; 174,24
	CD ₃ C ₆ D ₅	6,0	30,07 32,50	24,30 23,08	168,96; 171,35; 171,67; 173,52	169,89; 171,49; 174,97; 174,95
	CD ₃ OH	1,4	30,14–33,25	25,15 25,69 23,40	171,05; 174,57; 174,97; 172,31; 172,61; 172,70; 174,21; 174,75; 175,26	
	CDCl ₃ + K ⁺	4,6	29,72 30,23 или 29,41	24,26 24,25	172,34	173,85 172,45; 172,45; 173,23; 170,93
	CDCl ₃ + Tl ⁺	4,6	30,38	24,96		172,84; 174,42
	C ₂ D ₅ OH + K ⁺	6,8	29,40	24,23	169,81	174,48; 173,33
	CDCl ₃ + K ⁺	3,4	30,08	24,27		171,96
	CDCl ₃ + Tl ⁺	3,4	29,91 или 29,73 30,67	24,27 25,04	173,39; 172,44	171,42
	C ₂ D ₅ OH + K ⁺		30,24 или 30,55		174,5–173,4	174,79; 173,39
	C ₂ D ₅ OH + Tl ⁺				172,84; 173,14	172,66; 174,89
(II)					172,84; 173,26	172,93; 174,20

* Сигналы формы А.

** Сигналы минорных форм.

Таблица 4

Разница химических сдвигов сигналов $^{13}\text{C}^{\beta}$ и $^{13}\text{C}^{\gamma}$ ($\Delta\delta_{\text{C}^{\beta}, \text{C}^{\gamma}}$, м.д.)
и значения торсионных углов ψ (град) остатков пролина

Соединение	Растворитель	Форма	$\Delta\delta^*$	ψ^{**}	
(I)	CDCl_3	A	3,62	140 или	-20
		B	{ 5,59 9,50	-175 147	-75 -27
	$\text{CD}_3\text{C}_6\text{D}_5$	B	{ 5,77 9,42	-160 146	-80 -26
			5,46	-169	-71
	$\text{CDCl}_3 + \text{K}^+$		5,98 или 5,46	-154(-177)	-86(-63)
	$\text{CDCl}_3 + \text{Tl}^+$		5,42	180	-70
	$\text{C}_2\text{D}_5\text{OH} + \text{K}^+$		5,42	177	63
	CDCl_3		5,17	159	81
	$\text{CDCl}_3 + \text{K}^+$		5,81	164(169)	76(71)
	$\text{CDCl}_3 + \text{Tl}^+$		5,64 или 5,45	173	77
(II)	$\text{C}_2\text{D}_5\text{OH} + \text{K}^+$		5,66	169(160)	71(80)
	$\text{C}_2\text{D}_5\text{OH} + \text{Tl}^+$		5,46 или 5,77		

* Погрешность измерения $\pm 0,05$ м.д.

** Значения угла ψ рассчитаны согласно работе [7] с точностью $\pm 10^\circ$.

обусловленный анизотропным влиянием карбонильных групп остатков *L*-Lac, участвующих в образовании BMBC.

Образование β -изгибов фрагментами *L*-Lac-*L*-Val-*D*-Pro-*D*-Val подтверждается наблюдаемым ядерным эффектом Оверхаузера (ЯЭО) (табл. 5), свидетельствующим о наличии диполь-дипольного взаимодействия между пространственно сближенными до $2\text{--}5$ Å протонами [14]. (ЯЭО регистрировали в образце десипептида (II) в смеси $\text{CCl}_4 - \text{CDCl}_3$, 5 : 1, при -30°C .) Так, при насыщении C^6H -сигнала остатка *D*-Pro при 3,55 м.д. наблюдается сигнал ЯЭО на C^6H остатка *L*-Val ($\sim 10\%$, табл. 5), что согласуется с положением остатков *L*-Val и *D*-Pro соответственно в *i*+1-м и *i*+2-м положениях β -изгиба типа II [15, 16].

Наблюдаемые значения $^3J_{\text{NH}-\text{C}^{\alpha}\text{H}}$ остатков *L*-Val (6,4–6,7 Гц, табл. 2) также согласуются с нахождением этих остатков в *i*+1-м положении β -изгиба ($\phi \sim -80^\circ$).

ЯЭО наблюдается также между C^{62}H остатка *D*-Pro, сигнал которого находится в слабом поле (4,23 м.д.), и NH остатков *D*-Val, участвующих в образовании BMBC типа 4→1 этих изгибов.

Так как карбонилы сложноэфирных групп не участвуют в образовании водородных связей, в десипептиде (II) не образуются BMBC типа 3→1 между NH остатков *L*-Val и CO остатков *D*-Val, и для NH-групп *L*-Val-остатков возможно образование BMBC типа 4→1 или 5→1. Большая величина ЯЭО на сигнале C^6H *L*-Lac-остатков при насыщении NH остатков *L*-Val ($\sim 10\%$, табл. 5) не согласуется с образованием β -изгибов фрагментов *D*-Pro-*D*-Val-*L*-Lac-*L*-Val, стабилизованных BMBC типа 4→1 [17], возможно, NH-группы *L*-Val-остатков образуют BMBC типа 5→1 с CO-группами остатков *L*-Val. Образующиеся BMBC очень неустойчивы, и при нагревании образца до $\sim 60^\circ\text{C}$ конформация дестабилизируется (в ^1H -ЯМР-спектре происходит уширение всех сигналов). При охлаждении раствора десипептида (II) в CDCl_3 в ^1H -ЯМР-спектре наблюдается уширение сигналов (рис. 3), которое начинается с сигнала NH-протонов *L*-Val-остатков (при $\sim -25^\circ\text{C}$), при понижении температуры до $-50\text{--}-55^\circ\text{C}$ уширяются сигналы как NH- (*D*-Val), так и C^6H -протонов десипептидной цепи. Вероятно, это связано с возможностью реализации в растворе ряда других конформационных форм, образование которых вызвано конкуренцией CO-групп остатков *L*-Val, *D*-Pro за участие в образовании BMBC типа 5→1 или 4→1 с NH-группами *L*-Val-остатков. Отсутствие уширения сигналов в ^1H -ЯМР-спектре десипептида (II) в смеси $\text{CCl}_4 - \text{CDCl}_3$, 5 : 1, при охлаждении до -30°C объясняется более высокой, чем в CDCl_3 , скоростью миграции этой водородной связи по циклу.

Таблица 5

Ядерный эффект Оверхаузера, наблюдаемый между протонами аминокислотных остатков депептида (II)

Насыщаемый сигнал		Наблюдаемый сигнал		ЯЭО, %
NH	<i>D</i> -Val	$C^\alpha H$	<i>D</i> -Val	6,5 *
		$C^\beta H$	<i>D</i> -Val	3 **
		$C^{\delta 2} H$	<i>D</i> -Pro	6,5 *
		$C^{\alpha 2} H$	<i>D</i> -Pro	2,5
NH	<i>L</i> -Val	$C^\alpha H$	<i>L</i> -Val	3
		$C^\beta H$	<i>L</i> -Val	8
		$C^{\delta 2} H$	<i>L</i> -Lac	8
		$C^{\alpha 2} H_2$	<i>D</i> -Pro	30
$C^{\delta 1} H$	<i>D</i> -Pro	$C^{\delta 2} H$	<i>D</i> -Pro	15
		$C^{\alpha 2} H$	<i>L</i> -Val	8
		$C^{\alpha 2} H$		

* Сигнал ЯЭО, общий для $C^\alpha H$ остатка *D*-Val и $C^{\delta 2} H$ остатка *D*-Pro из-за их перекрывания.

** Сигнал ЯЭО, общий для $C^\beta H$ остатков *D*-Val и *D*-Pro.

Наблюдаемое значение ${}^3J_{\text{HH}-\text{C}^\alpha \text{H}}$ остатков *D*-Val, равное 9,7 Гц, представляет собой усредненное значение ${}^3J_{\text{HH}-\text{C}^\alpha \text{H}}$, характерной для *D*-Val-остатков, включенных в *i*+1-е положение β -изгиба фрагментов *D*-Pro-*D*-Val-*L*-Lac-*L*-Val и для *транс*-ориентации NH- $C^\alpha H$ -фрагмента остатков *D*-Val, реализующейся в молекуле при образовании BMBC типа 5→1, между NH (*i*+4)-го остатка *L*-Val и CO *i*-го остатка *L*-Val.

Таким образом, депептид (II) в слабополярных растворителях не представляет собой жестко фиксированной конформации, а существует в виде быстро обменивающихся конформеров, в каждом из которых сохраняются β -изгибы типа II фрагментов *L*-Lac-*L*-Val-*D*-Pro-*D*-Val, стабилизированные BMBC, а различие реализующихся конформеров связано с изменением торсионных углов фрагментов *D*-Val-*L*-Lac.

При увеличении полярности растворителя гексадепептид (II) претерпевает сильные конформационные изменения. В CD_3OH и $\text{C}_2\text{D}_5\text{OH}$

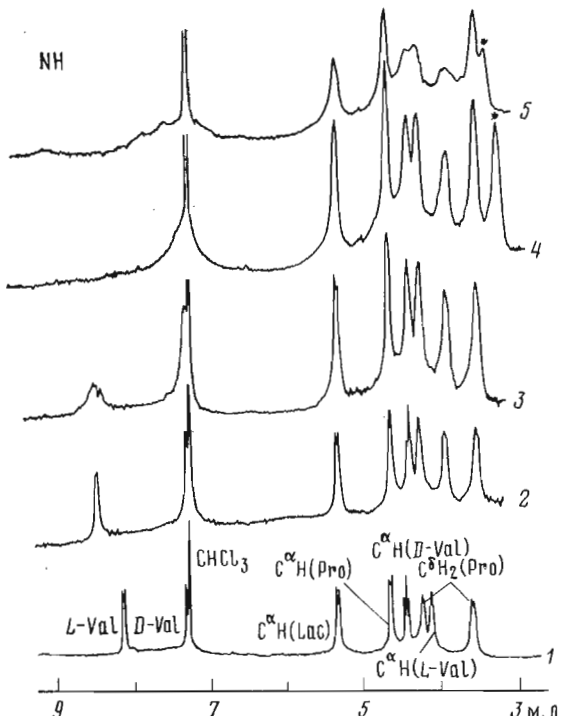


Рис. 3. Спектры ${}^1\text{H}$ -ЯМР (300 МГц) депептида (II) в CDCl_3 при 22 (1), -22 (2), -41 (3), -54 (4) и -64°C (5) (область сигналов NH и $C^\alpha H$, * — примесь)

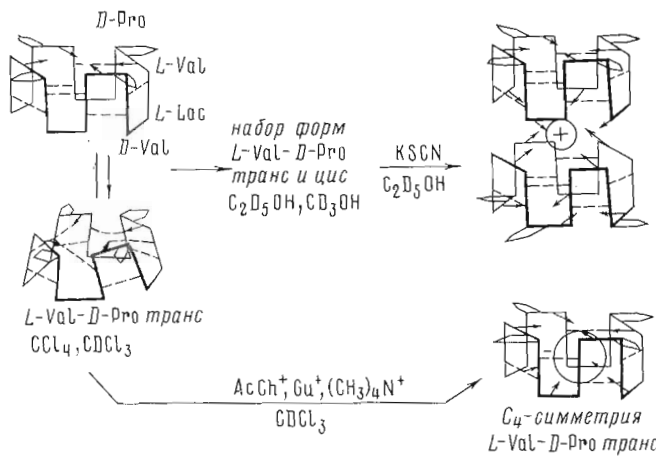
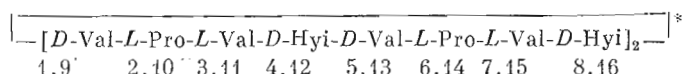


Рис. 4. Схематически представленные конформационные изменения основной цепи дипептида (II) при изменении растворителя и комплексообразовании. Стрелками обозначены кислороды CO-групп, пунктиром — BMBC

соединение (II) существует в виде равновесия нескольких (≥ 6) симметричных и/или асимметричных конформаций различной населенности. Температурные коэффициенты ($\Delta\delta/\Delta T$) сигналов NH наблюдаемых форм очень различны (варьируют в интервале $(0,6-10,0) \cdot 10^{-3}$ м.д./град, табл. 2). Скорее всего, имеются как экспонированные, так и участвующие в образовании BMBC NH-группы. Значения $^3J_{\text{HH-сн}}$ меняются от 5,8 до ~ 10 Гц. Коалесценции сигналов наблюдаемых форм не удается достичь при нагревании раствора дипептида (II) в спирте до 70°С. Очевидно, резкое увеличение числа форм связано с увеличением выгодности *циклической* конформации третичной амидной связи в полярной среде. На рис. 4 в схематическом виде представлен характер конформационных перестроек циклодипептида (II) при смене растворителя.

Отсутствие серьезных изменений в КД-спектрах дипептида (I) (рис. 2а, 1→2→3) объясняется достаточной конформационной стабильностью исследуемого соединения. Действительно, как видно из ^1H -ЯМР-спектров, дипептид (I) в слабополярных растворителях ($\text{CCl}_4 - \text{CDCl}_3$, 9:1; CDCl_3 , $\text{CD}_3\text{C}_6\text{D}_{11}$, $\text{CD}_3\text{C}_6\text{D}_5$) представляет собой набор форм с ярко выраженной предпочтительной населенностью одной из них (табл. 1). В ^1H -ЯМР-спектрах основной формы наблюдаются близкие величины значений $^3J_{\text{HN-сн}}$ и $^3J_{\text{HC-сн}}$ как аминокислотных, так и D- α -оксилизовалерианового остатков, а также $\Delta\delta/\Delta T$ сигналов NH остатков D-Val^{1,9}, L-Val^{3,11} и L-Val^{7,15} (табл. 1). Эти данные позволяют предложить для наиболее населенной формы дипептида (I) в этом наборе растворителей одинаковую конформацию.

В спектрах ^1H - и ^{13}C -ЯМР наиболее населенной формы дипептида (I) в слабополярных растворителях наблюдаются сигналы октадипептидного фрагмента. Следовательно, основная форма дипептида (I) (форма В) имеет C_2 -симметричную структуру, т. е. конформацию, в которой эквивалентны октадипептидные (а не тетрадипептидные) сегменты



Конфигурация третичной амидной связи D-Val-L-Pro основной формы дипептида (I) была определена при помощи ^{13}C -ЯМР-спектров. Значения δ_{Cp}^{13} (L-Pro), равные 22,56 и 24,26 м.д. (табл. 3), а также величины $\Delta\delta_{\text{Cp},\text{ст}}$ остатков L-Pro (9,50 и 5,59 м.д., табл. 4) указывают на то, что в

* Остатком D-Val¹ обозначается один из остатков D-Val, амидная связь между которым и L-Pro имеет *транс*-конформацию.

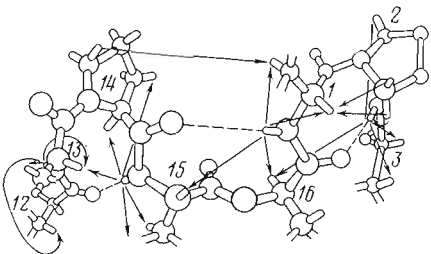


Рис. 5

Рис. 5. Предполагаемая конформация формы В дипептида (I) (фрагмент). Стрелками показаны наблюдаемые ЯЭО между соответствующими протонами. Цифры обозначают C²-атом соответствующего остатка

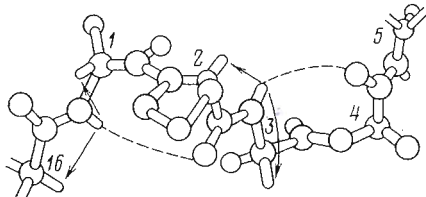


Рис. 6

Рис. 6. Фрагмент гипотетической конформации формы А дипептида (I). Стрелками показаны наблюдаемые ЯЭО

молекуле две связи *D*-Val–*L*-Pro имеют *цис*-, а две другие – *транс*-конфигурацию [7–9]. Так как молекула обладает C₂-симметрией, то конфигурация третичных амидных связей основной формы дипептида (I) представляет собой 1,2-*транс*–5,6-*цис*–9,10-*транс*–13,14-*цис*. При добавлении 2,2,6,6-тетраметилпиперидин-1-оксила к раствору дипептида (I) в CDCl₃ NH-группы остатков *D*-Val (5,13) оказываются доступными иминоксильному радикалу, сигнал их NH-протонов (δ 6,18 м.д.) уширяется на 335 Гц/моль; следовательно, эти протоны экспонированы в растворитель (CDCl₃) [10]. Остальные сигналы NH (*D*-Val^{1,9}, *L*-Val^{3,11}, *L*-Val^{7,15}) уширяются в гораздо меньшей степени (на 45–55 Гц/моль), значит, эти NH-протоны экранированы от растворителя, участвуя в образовании BMBC, что согласуется с данными ИК-спектров (рис. 1а), т. е. в образовании BMBC участвуют NH-протоны остатков *D*-Val^{1,9}, *L*-Val^{3,11} и *L*-Val^{7,15}. NH-Протоны остатков *D*-Val^{5,13} экспонированы в растворитель.

Как видно из спектров ИК (рис. 1а), сложноэфирные CO-группы не участвуют в BMBC и, следовательно, в дипептиде (I) нет BMBC типа 3→1 для NH-протонов остатков *D*-Val и типа 5→1 для NH-протонов остатков *L*-Val. Значение химического сдвига ¹³C⁸ *транс*-*L*-Pro-остатков (2,10) (29,85 м.д., табл. 3) позволяет также исключить образование γ-изгибов фрагментов *D*-Val^{1,9}-*L*-Pro^{2,10}-*L*-Val^{3,11} с пролиевым остатком в *i*+1-м положении [9], стабилизированных BMBC типа 3→1.

В спектрах ¹H-ЯМР дипептида (I) наблюдается аномально сдвинутый в слабое поле сигнал C⁶H пролинового остатка (~4,1 м.д.), как в ¹H-ЯМР-спектрах пролинодержащих октааналогов валиномицина [13] и *D*-пролинодержащего додекааналога валиномицина [1], что позволяет предложить для фрагментов *D*-Hyi^{16,8}-*D*-Val^{1,9}-*L*-Pro^{2,10}-*L*-Val^{3,11} образование аналогичных β-изгибов.

Наблюдаемые в спектре ЯЭО также согласуются с образованием β-изгиба фрагментами *D*-Hyi^{16,8}-*D*-Val^{1,9}-*L*-Pro^{2,10}-*L*-Val^{3,11}. Так, при насыщении сигналов C⁶H₂-протонов *L*-Pro^{2,10}-остатков имеется ЯЭО на C²H остатков *D*-Val^{1,9} (~4–4,5%), что согласуется с нахождением остатков *D*-Val^{1,9} и *L*-Pro^{2,10} в *i*+1- и *i*+2-м положениях β-изгиба типа II. ЯЭО (~1%, табл. 5), фиксируемый при насыщении NH-протона (*L*-Val^{3,11}) на сигналах C²H, C⁸²H, C⁸H₂, C¹H₂ остатков *L*-Pro^{2,10}, а также на C²H остатков *D*-Hyi^{8,16}, подтверждает образование фрагментами *D*-Hyi^{16,8}-*D*-Val^{1,9}-*L*-Pro^{2,10}-*L*-Val^{3,11} β-изгибов типа II [15–17], стабилизированных BMBC 4→1 между NH остатков *L*-Val^{3,11} и CO остатков *D*-Hyi^{16,8} (рис. 5).

В BMBC включены NH-группы остатков *L*-Val^{7,15}. Протоны этих групп могут участвовать в образовании BMBC только типа 4→1, стабилизируя β-изгиб фрагмента *D*-Hyi^{1,12}-*D*-Val^{5,13}-*L*-Pro^{6,14}-*L*-Val^{7,15} с *цис*-конфигурацией третичной амидной связи *D*-Val^{5,13}-*L*-Pro^{6,14} и с ориентацией пролинового цикла остатков Pro^{6,14} внутрь полости молекулы (рис. 5). Подтверждением этой структуры служит ЯЭО между NH остатков *L*-Val^{7,15} и C²H остатков *L*-Pro^{6,14}, C²H остатков *D*-Val^{5,13} и одним из C⁸H-протонов

Ядерный эффект Оверхаузера, наблюдаемый между протонами аминокислотных остатков формы В дипептида (I)

Насыщаемый сигнал		Наблюдаемый сигнал		ЯЭО, %
NH	<i>D</i> -Val ^{1,9}	C ^α H	<i>D</i> -Val ^{1,9}	3
		C ^β H	<i>D</i> -Val ^{1,9}	3,5
		C ^α H	<i>D</i> -Hyp ^{8,16}	1,5
		C ^α H	<i>L</i> -Val ^{7,15}	1
NH	<i>L</i> -Val ^{3,11}	C ^α H	<i>L</i> -Val ^{3,11}	5
		C ^β H	<i>L</i> -Val ^{3,11}	0,5
		C ^α H	<i>L</i> -Pro ^{2,10}	0,7
		C ^β H ₂	<i>L</i> -Pro ^{2,10}	0,5
		C ^γ H ₂	<i>L</i> -Pro ^{2,10}	1
		C ^α H	<i>D</i> -Hyp ^{8,16}	0,5
		C ^{δ2} H	<i>L</i> -Pro ^{2,10}	0,7
		C ^α H	<i>D</i> -Val ^{5,13}	4
NH	<i>D</i> -Val ^{5,13}	C ^β H	<i>D</i> -Val ^{5,13}	4
		C ^β H	<i>D</i> -Hyp ^{4,12}	4
		C ^α H	<i>L</i> -Val ^{3,11}	0,5
		C ^α H	<i>D</i> -Hyp ^{4,12}	1
		C ^α H	<i>L</i> -Pro ^{6,14}	0,5
		C ^α H	<i>L</i> -Val ^{7,15}	3,5 *
		C ^β H	<i>L</i> -Val ^{7,15}	3
		C ^α H	<i>L</i> -Pro ^{6,14}	5,5
NH	<i>L</i> -Val ^{7,15}	C ^β H	<i>L</i> -Pro ^{6,14}	1
		C ^α H	<i>D</i> -Val ^{5,13}	3,5 *
		C ^α H	<i>D</i> -Hyp ^{8,16}	0,5
		C ^β H	<i>L</i> -Val ^{3,11}	6
		NH	<i>L</i> -Val ^{3,11}	7
		C ^{δ2} H	<i>L</i> -Pro ^{2,10}	13,5
		C ^γ H ₂	<i>L</i> -Pro ^{2,10}	5
		C ^α H	<i>L</i> -Pro ^{2,10}	0,7
C ^{δ2} H	<i>L</i> -Pro ^{2,10}	C ^α H	<i>D</i> -Val ^{1,9}	4
		C ^α H	<i>D</i> -Hyp ^{8,16}	0,7
		C ^{δ1} H	<i>L</i> -Pro ^{2,10}	13,5
		C ^γ H ₂	<i>L</i> -Pro ^{2,10}	4
		C ^α H	<i>D</i> -Val ^{1,9}	4,5
		NH	<i>L</i> -Val ^{3,11}	1
		C ^α H	<i>L</i> -Val ^{3,11}	<1
		C ^{δ1} H	<i>L</i> -Pro ^{6,14}	25
C ^{δ1} H	<i>L</i> -Pro ^{6,14}	C ^{δ2} H	<i>L</i> -Pro ^{6,14}	2,5
		C ^γ H ₂	<i>L</i> -Pro ^{6,14}	15
		C ^{δ1} H	<i>L</i> -Pro ^{6,14}	~2
		C ^β H	<i>D</i> -Val ^{1,9}	1,5
C ^{δ2} H	<i>L</i> -Pro ^{6,14}	C ^γ H ₂	<i>L</i> -Pro ^{6,14}	

* Сигнал ЯЭО, общий для C^αH-протонов *L*-Val^{7,15} и *D*-Val^{5,13} из-за перекрытия их сигналов.

остатков *L*-Pro^{6,14} (при 1,58 м.д.), а также между C⁶H (*L*-Pro^{6,14}) и C^βH (*D*-Val^{1,9}).

ЯЭО, наблюдаемый на сигнале C^αH остатков *L*-Pro^{6,14} при насыщении NH остатков *L*-Val^{7,15} (~5,5%), позволяет говорить о сближенности этих протонов и об их «син»-ориентации (рис. 5). Из-за сильного перекрывания сигналов C^αH остатков *D*-Val^{5,13} и *L*-Val^{7,15} (табл. 1) невозможно разделить ЯЭО на этих сигналах при насыщении сигнала NH остатков *L*-Val^{7,15}.

Группы NH (*D*-Val^{1,9}) также участвуют в образовании BMBC типа 4→1. ЯЭО (~1,5%) между протонами NH (*D*-Val^{1,9}) и C^αH остатков *D*-Hyp^{16,8} (рис. 5) согласуется с образованием β-изгибов во фрагментах *L*-Pro^{14,6}-*L*-Val^{15,7}-*D*-Hyp^{16,8}-*D*-Val^{1,9} с участием NH-протонов *D*-Val^{1,9}-остатков в BMBC типа 4→1. Но увеличение значений температурных коэффициентов сигнала NH остатков *D*-Val^{1,9} (3,3–4,5·10⁻³ м.д./град) по сравнению со значениями для сигнала NH остатков *L*-Val^{3,11} (0–1,8·10⁻³ м.д./град) говорит о меньшей устойчивости BMBC (*D*-Val^{1,9})NH...CO(*L*-Pro^{14,6}).

Группы NH остатков *D*-Val^{5,13} экспонированы в растворитель. ЯЭО наблюдается между протонами этих групп и протонами C^αH и C^βH (*D*-Val^{5,13}), а также C^βH (*D*-Hyp^{4,12}) (табл. 6).

Таким образом, форма В представляет собой молекулу, обладающую C_2 -симметрией с *транс*-*цикло*-*транс*-*цикло*-конфигурацией третичных амидных связей $D\text{-Val}^1 - L\text{-Pro}^2$, $D\text{-Val}^3 - L\text{-Pro}^6$, $D\text{-Val}^9 - L\text{-Pro}^{10}$ и $D\text{-Val}^{13} - L\text{-Pro}^{14}$. NH-Протоны остатков $D\text{-Val}^{5,13}$ экспонированы в растворитель, а NH-протоны остатков $D\text{-Val}^{1,9}$, $L\text{-Val}^{3,11}$ и $L\text{-Val}^{7,15}$ участвуют в образовании BMBC типа 4→1, стабилизируя реализующиеся в молекуле шесть β -изгибов во фрагментах $L\text{-Pro}^{14,6}\text{-}L\text{-Val}^{15,7}\text{-}D\text{-Hyl}^{16,8}\text{-}D\text{-Val}^{1,9}$; $D\text{-Hyl}^{16,8}\text{-}D\text{-Val}^{1,9}\text{-}L\text{-Pro}^{2,10}\text{-}L\text{-Val}^{3,11}$ с *транс*-конфигурацией связи $D\text{-Val}^{1,9} - L\text{-Pro}^{2,10}$ и $D\text{-Hyl}^{16,8}\text{-}D\text{-Val}^{5,13}\text{-}L\text{-Pro}^{6,14}\text{-}L\text{-Val}^{7,15}$ с *цикло*-конфигурацией связи $D\text{-Val}^{5,13} - L\text{-Pro}^{6,14}$ (рис. 5).

Значения ${}^3J_{\text{HH-СН}}$, $\Delta\delta_{\text{C}^{\beta}, \text{C}^{\gamma}}(L\text{-Pro})$, ${}^3J_{\text{HCH-C}^{\beta}\text{H}}$ и ограничения, вносимые наблюдаемым ЯЭО и образующимися BMBC, а также рассмотрение молекулярных моделей позволили предложить для конформации десипептида (I) (форма В) следующие значения торсионных углов:

	Φ	Ψ	χ^1	ω
$D\text{-Val}^{1,9}$	75	~−120	180	180
$L\text{-Pro}^{2,10}$	−60	−75	30	
$L\text{-Val}^{3,11}$	−100	—	±60	
$D\text{-Hyl}^{14,12}$	—	—	—	
$D\text{-Val}^{5,13}$	120	−60	180	0
$L\text{-Pro}^{6,14}$	−60	147	30	
$L\text{-Val}^{7,15}$	−80	~120	180	
$D\text{-Hyl}^{16,8}$	—	60	±90	

Наблюдаемая ориентация боковых цепей валиновых и $D\text{-}\alpha$ -оксизовалериановых остатков способствует лучшему экранированию водородных связей от растворителя.

В CDCl_3 у аналога (I) также обнаруживается C_4 -симметричная форма (табл. 1, форма А) с населенностью ~30% и *транс*-конфигурацией третичной амидной связи ($\delta_{\text{C}^{\gamma}}(L\text{-Pro})$ 24,56 м.д., табл. 3). При добавлении в раствор иминоксильного радикала сигналы от протонов NH конформера А уширяются на 85–90 Гц/моль, что свидетельствует об экранированности их от растворителя [10]. В области Амид А ИК-спектра десипептида (I) при переходе от CCl_4 к CHCl_3 (где появляется форма А) не наблюдается увеличения интенсивности полосы при $\nu_{\text{NH}} \sim 3420 \text{ см}^{-1}$, отвечающей свободным NH. Это позволяет говорить об участии NH-групп формы А в BMBC. Однако эти NH в меньшей степени экранированы от растворителя, чем NH-группы формы В соединения (II) и D -пролинодержащего додекааналога валиномицина [1]. В ${}^1\text{H}$ -ЯМР-спектре оба сигнала $\text{C}^3\text{H}_2(L\text{-Pro})$ формы А десипептида (I) находятся при 3,57 м.д., что отвечает положению сигналов этих протонов в защищенном L -пролине [12]. Отсутствие аномально сдвинутого сигнала протона $\text{C}^3\text{H}_2(L\text{-Pro})$ связано, очевидно, с тем, что в наблюдаемой форме А фрагменты $D\text{-Hyl-D-Val-L-Pro-L-Val}$ не образуют β -изгибов с BMBC типа 4→1. В симметричной форме с *транс*-ориентацией всех четырех третичных амидных связей и с восемью BMBC исключается и возможность образования γ -изгибов с остатком $L\text{-Pro}$ в $i+1$ -м положении ($\delta_{\text{C}^{\beta}}(L\text{-Pro})$ 28,2 м.д., табл. 3). Включение в BMBC NH-протонов как L -, так и D -валиновых остатков, а также инертность к образованию водородных связей карбонилов сложноэфирных групп оставляют возможность существования BMBC только одного типа 1→2 с образованием системы конденсированных восьмичленников (рис. 6) с углами $\varphi \sim \pm 150^\circ$ (для D - и L -Val соответственно) и $\psi \sim 140^\circ$ (для $L\text{-Pro}$).

При переходе от слабополярных растворителей к спиртам населенность основной формы десипептида (I) составляет 60 и 40% для $\text{C}_2\text{D}_5\text{OH}$ и CD_3OH соответственно. Сигналы отдельных минорных форм в этих растворителях не удается выделить из-за их уширения уже при 25° С. Следовательно, переход между этими формами не сопровождается изменением конфигурации третичной амидной связи. Незначительность изменения химических сдвигов сигналов основной формы, участвующих в образовании водородных связей при переходе в спиртовой раствор, а также небольшие температурные градиенты этих сигналов (табл. 1) свидетельствуют о сохранении системы BMBC в молекуле при изменении растворителя. Неиз-

Форма А, C_4 -симметрия

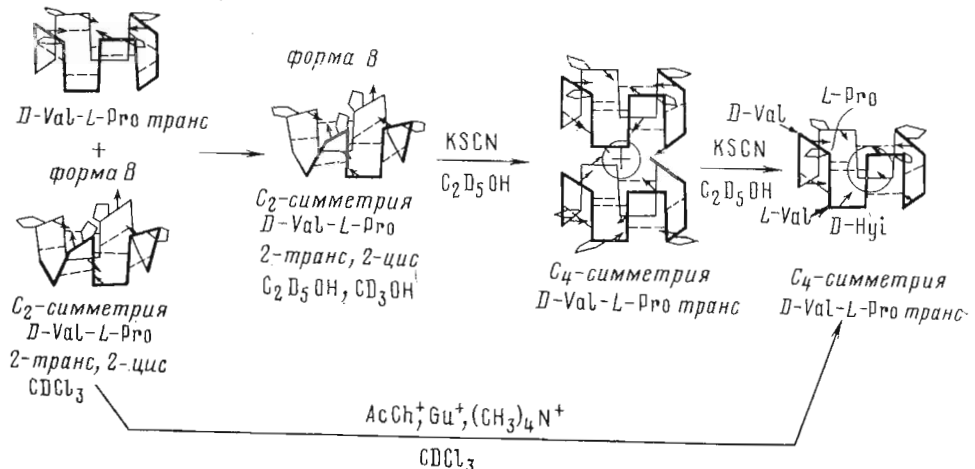


Рис. 7. Схематически представленные конформационные изменения основной цепи депептида (I) (наиболее населенных форм) при смене растворителя и комплексообразовании. Стрелками обозначены кислороды CO-групп, пунктиром — BMBC

менность величины $^3J_{HN-C^{\alpha}H}$ и $^3J_{HC^{\alpha}-C^{\beta}H}$ всех остатков в основной форме подтверждает конформационную стабильность наблюдаемой формы.

Характер конформационных перестроек основной формы соединения (I) при смене растворителей представлен на рис. 7.

Комплексообразование в гексадекадепептидах

Рассмотрим данные по комплексообразованию соединений (I) и (II). ИК-спектры комплексов соединений (I) (рис. 1а) и (II) (рис. 1б) с K^+ , Cs^+ и Na^+ в $CHCl_3$ свидетельствуют о сохранении в комплексах системы BMBC (ν_{NH} 3307–3322 см $^{-1}$, ν_{NCO} 1665–1645 см $^{-1}$). Образование комплексов с K^+ , Cs^+ и Na^+ сопровождается смещением ν_{COO} соответственно на 6 и 4 см $^{-1}$ у депептида (I) и на 8, 4 и 10 см $^{-1}$ у депептида (II). Следовательно, карбонилы сложноэфирных групп депептидов (I) и (II) участвуют в ион-дипольном взаимодействии с катионом при образовании комплексов с щелочными металлами в $CHCl_3$. Перекрывание полос валентных колебаний вторичных и третичных амидных карбонилов в области Амид I затрудняет, как отмечено в работе [1], возможность определения участия в ион-дипольном взаимодействии CO-групп третичных амидных связей.

Спектры ЯМР как 1H , так и ^{13}C комплексов соединения (I) с K^+ и Cs^+ и комплексов соединения (II) с Na^+ , K^+ и Cs^+ в $CDCl_3$ очень близки друг-другу по химическим сдвигам регистрируемых сигналов и по значениям констант спин-спинового взаимодействия (табл. 1, 2). Очевидно, конформация образующихся комплексов депептидов со всеми использованными катионами одинакова. Спектры 1H - и ^{13}C -ЯМР комплексов соединений (I) и (II) указывают на то, что эти комплексы существуют в растворе в виде одной формы с осью симметрии C_4 вне зависимости от полярности растворителя. Спектры ^{13}C -ЯМР позволяют установить конфигурацию третичной амидной связи. Значения $\delta_{C^{\beta}}$ (~24 м.д., табл. 3) и $\Delta\delta_{C^{\beta}, C^{\gamma}}$ пролиновых остатков (табл. 4) говорят о транс-конфигурации третичных амидных связей в полученных комплексах.

В области Амид А ИК-спектров комплексов депептидов (I) и (II) с щелочными металлами наблюдаются интенсивные полосы с ν_{NH} 3307–3329 см $^{-1}$ (рис. 1а, б), указывающие на участие NH в образовании водородных связей. Тип образующихся BMBC мы попробовали установить при помощи 1H - и ^{13}C -ЯМР-спектроскопии.

Наблюдаемые значения химических сдвигов сигналов $^{13}C^{\beta}$ пролиновых остатков (~30 м.д., табл. 3) исключают образование γ -изгибов во фраг-

Таблица 7

Ядерный эффект Оверхаузера, наблюдаемый между протонами аминокислотных остатков комплексов десипептида (I) и (II)

Комплекс	Насыщаемый сигнал		Наблюдаемый сигнал		ЯЭО, %
(I) · K+	C ^{δ1} H	L-Pro	C ^α H	D-Val	3,5
			C ^{δ2} H	L-Pro	>10
			C ^α H	L-Pro	~1
			C ^α H	D-Hyi	<0,5
			C ^α H	D-Val	<0,5
	C ^α H	D-Hyi + L-Pro	C ^α H	L-Val	<0,5
			C ^α H	D-Val	5
			C ^β H	D-Val	10
			C ^{δ2} H	L-Pro	~0,5
			C ^α H	D-Hyi	2,5
(I) · Gu	NH	D-Val	C ^α H	L-Val	3,5
			C ^β H	L-Val	4
			C ^α H	L-Pro	1,5
			C ^{δ2} H	L-Pro	1,5
			C ^α H	D-Hyi	0,5
	NH	L-Val	C ^α H	D-Val	5
			C ^β H	D-Val	7
			C ^α H	D-Pro	1,5
			C ^{δ2} H	D-Pro	3
			C ^α H	L-Val	2,5
(II) · K+	NH	D-Val	C ^β H	L-Val	7
			C ^α H	L-Lac	5
			C ^{δ2} H	D-Val	7
			C ^{δ2} H ₂ + C ^γ H ₂	D-Pro	22
	C ^{δ1} H	D-Pro	C ^α H	D-Pro	7

ментах D-Val-L-Pro-L-Val и L-Val-D-Pro-D-Val десипептидов (I) и (II) соответственно с L-Pro (или D-Pro) остатком в *i*+1-м положении, стабилизованных BMBC типа 3→1 [1, 11].

В ¹H-ЯМР-спектрах комплексов десипептидов (I) и (II) с щелочными металлами наблюдается аномальный сдвиг в слабое поле (~4,1 м.д., табл. 1, 2) сигнала одного из протонов группы C^δH₂ пролиновых остатков, как и в спектрах свободных десипептидов, а также окта- и додекапролин-содержащих аналогов валиномицина [1, 13]. Этот аномальный сдвиг, как и в предыдущих случаях, вызван анизотропным влиянием карбонильной группы, которая участвует в образовании BMBC 4→1 в β-изгибе типа II, включающем пролиновый остаток в *i*+2-м положении, т. е. фрагменты D-Hyi-D-Val-L-Pro-L-Val для комплексов соединения (I) и L-Lac-L-Val-D-Pro-D-Val для комплексов соединения (II) образуют β-изгибы. С образованием такого типа β-изгибов согласуется ЯЭО (табл. 7) между протоном C^{δ2}H пролинового остатка (~4 м.д., табл. 1) и NH-протоном, участвующим в водородных связях типа 4→1, стабилизирующих эти β-изгибы, и ЯЭО между протонами C^δH₂-группы *i*-го пролинового остатка и C^αH *i*-1-го валинового остатка в аминокислотной последовательности-(табл. 7). Угол ϕ пролиновых остатков в комплексах десипептида (I) составляет ~−70° (L-Pro), а в комплексах десипептида (II) ~80° (D-Pro) (табл. 4), что согласуется с нахождением пролиновых остатков в *i*+2-м положении β-изгиба, для которых характерны значения ϕ от −70 до +80° [18].

Так как карбонилы сложноэфирных групп не участвуют в образовании BMBC, NH-группы остатков D-Val (соединение (I)) и L-Val (соединение (II)) могут образовывать BMBC типа 4→1 L-Pro(CO...HN)D-Val и D-Pro(CO...HN)L-Val (для соединений (I) и (II) соответственно) или BMBC типа 5→1 с CO-группами D- или L-Val для обоих десипептидов.

Значение ³J_{HN-C^{δ2}H} остатков L-Val K⁺-комплекса десипептида (I), равное 4,9 Гц, позволяет предложить для фрагментов L-Pro-L-Val-D-Hyi-D-Val также образование β-изгибов, стабилизированных BMBC типа 4→1 L-Pro(CO...HN)D-Val.

Таким образом, десипептидную цепь K⁺-комплекса соединения (I) можно представить в виде восьми конденсированных β-изгибов. Населен-

ность транс-ротамера $\text{C}^{\alpha}\text{H}-\text{C}^{\beta}\text{H}$ -фрагмента боковых цепей валиновых остатков $\geq 50\%$, изопропильная группа D -Нү-остатка имеет предпочтительность гомо-ориентации фрагмента $\text{C}^{\alpha}\text{H}-\text{C}^{\beta}\text{H}$. Величины ${}^3J_{\text{НН-С}^{\alpha}\text{Н}}$ для комплексов депсипептида (I) с щелочными металлами, равные $4,1-4,9$ Гц (табл. 1), позволяют оценить значения угла $\varphi L-(D)\text{-Val}$ ($\sim \pm 70^\circ$).

Повышенное значение ${}^3J_{\text{НН-С}^{\alpha}\text{Н}}$ остатков D -Val (7,4–7,8 Гц) в комплексах депсипептида (II) (табл. 2) указывает на искажение аналогичной валиномициновой [2, 4, 6, 19] «браслетной» структуры комплекса ($\varphi D\text{-Val} \sim 90^\circ$). Это искажение, возможно, обусловлено образованием комплекса состава макроцикл — катион, 2:1.

Достаточно большая величина ЯЭО на сигнале протона $\text{C}^{\alpha}\text{H}$ остатка L -Lac при насыщении сигнала NH L -Val-остатков (5%, табл. 7) не согласуется с образованием β -изгиба с BMBC типа 4→1 фрагментами $D\text{-Pro-}D\text{-Val-}L\text{-Lac-}L\text{-Val K}^+$ -комплекса депсипептида (II). Возможно, как и в случае свободного депсипептида (II), в комплексе депсипептида (II) с щелочными металлами NH -протоны L -Val-остатков образуют BMBC с карбонилами как D -Pro-, так и L -Val-остатков. Спектр K^+ -комплекса в CDCl_3 свидетельствует о быстром обмене между двумя образующимися конформациями. Однако величины $\Delta\delta/\Delta T$ сигналов обоих NH -протонов ($2,4 \cdot 10^{-3}$ (D -Val) и $2,7 \cdot 10^{-3}$ м.д./град (L -Val)), свидетельствующие об увеличении устойчивости BMBC, а также значения ${}^3J_{\text{НН-С}^{\alpha}\text{Н}}$, уменьшенные по сравнению с величинами, характерными для свободного депсипептида (II), позволяют говорить об увеличении в комплексе депсипептида (II) с щелочными металлами доли конформера с BMBC типа 4→1 $D\text{-Pro(CO...HN)}L\text{-Val}$.

Вопрос о стехиометрии образующихся комплексов депсипептидов (I) и (II) с щелочными металлами в CDCl_3 мы попытались разрешить с помощью исследования таллиевых комплексов. Близость параметров ЯМР-спектров этих комплексов и комплексов с щелочными металлами говорит о подобии их конформаций. В спектре ${}^{13}\text{C}$ -ЯМР комплекса депсипептида (I) с Tl^+ в CDCl_3 наблюдаются четыре сигнэта ${}^{13}\text{CO}$ -групп: 170,93; 172,45; 172,45 и 173,23 м. д. Константу спин-спинового взаимодействия ${}^{13}\text{C}$ с ионами ${}^{203}, {}^{205}\text{Tl}^+$ не удается зарегистрировать, очевидно, из-за быстрой скорости обмена Tl^+ между комплексом и средой. В спектре ${}^{13}\text{C}$ -ЯМР комплекса депсипептида (II) с Tl^+ в CDCl_3 в области сигналов ${}^{13}\text{C}$ карбонильных групп вообще не удалось выделить отдельных сигналов. В спектре наблюдаются широкие перекрывающиеся сигналы в области 171,5–173,1 м. д. (табл. 3). Отсутствие данных о том, какие именно карбонилы участвуют в ион-дипольном взаимодействии с катионом, затрудняет вывод о стехиометрии образующихся комплексов в CDCl_3 .

Пролинсодержащие гексадекааналоги валиномицина, как и гексадеказолейциномиции [4], образуют устойчивые комплексы с объемными органическими катионами — тетраметиламмонием $(\text{NH}_3)_4\text{N}^+$, гуанидинхлоридом Gu^+ и ацетилхолином AcCh^+ . Эти комплексы, как и комплексы с катионами щелочных металлов, в растворе существуют в виде одной формы с осью симметрии C_4 (табл. 1, 2). Малые значения температурных градиентов сигналов NH -протонов ($1,7-4,2 \cdot 10^{-3}$ м. д./град), близкие полученным для комплексов с щелочными металлами, и сохраняющийся аномальный сдвиг в слабое поле одного из протонов $\text{C}^{\beta}\text{H}_2$ -группы пролиновых остатков (4,1 м. д., табл. 1, 2) позволяют предложить в конформации молекулы депсипептида в комплексе существование четырех β -изгибов с пролиновым остатком в $i+2$ -м положении, стабилизированных BMBC типа 4→1 (рис. 4, 7). Значения ${}^3J_{\text{НН-С}^{\alpha}\text{Н}}$ уменьшаются при переходе от комплексов с щелочными металлами к комплексам с органическими катионами. Однако если для комплексов депсипептида (I) константы ${}^3J_{\text{НН-С}^{\alpha}\text{Н}}$ изменяются незначительно (на 0,5–0,9 Гц), то для комплексов соединения (II) эти изменения более существенны: на 2,5–3,3 Гц для D -Val и на 1,0–1,2 Гц для L -Val.

Значения ${}^3J_{\text{НН-С}^{\alpha}\text{Н}}$ остатков L -Val (4,2–4,8 Гц) комплексов депсипептида (I) и D -Val (4,8–4,9 Гц) комплексов депсипептида (II) позволяют предположить образование β -изгибов с BMBC типа 4→1 также и во фраг-

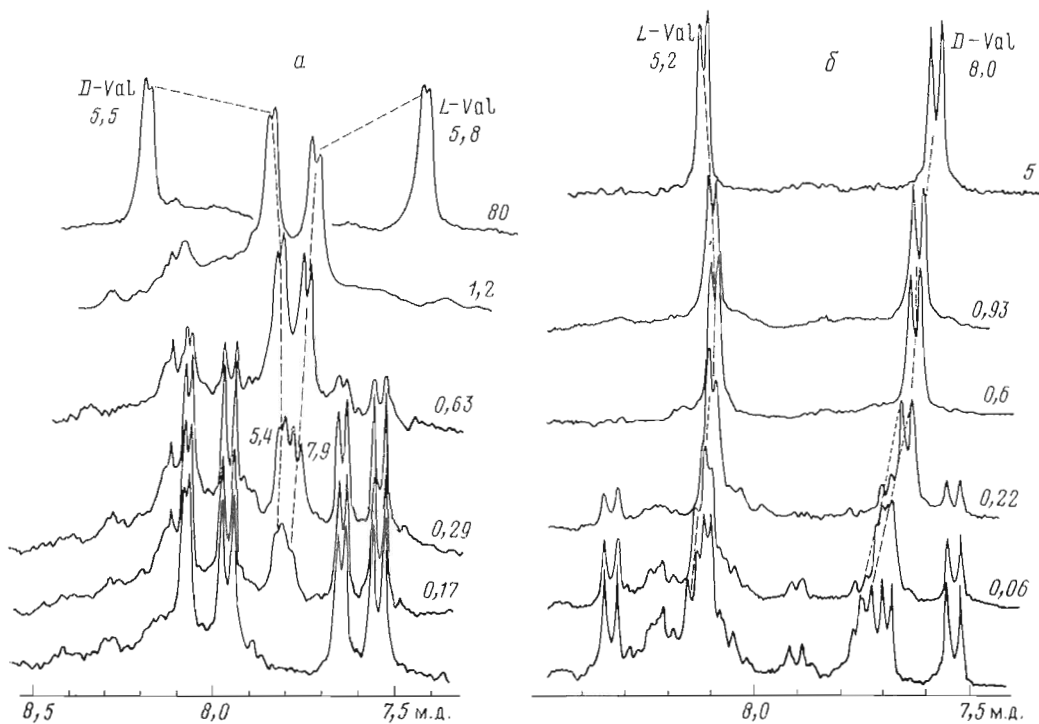


Рис. 8. Спектры ^1H -ЯМР депсипептида (I) (а) и (II) (б) (область сигналов NH-протонов) в $\text{C}_2\text{D}_5\text{OH}$ в присутствии KSCN в разных концентрациях ($\text{с}_{\text{KSCN}}/\text{c}_{\text{депс}}$ указано у кривых). Концентрация (I) — 18, (II) — 16 мМ. Цифры у пиков — значения $^3J_{\text{HN}-\text{с}^{\alpha}\text{H}}$ в герцах

ментах *L-Pro-L-Val-D-Hyi-D-Val* и *D-Pro-D-Val-L-Lac-L-Val* для комплексов депсипептидов (I) и (II) соответственно. Конформация молекулы депсипептидов (I) и (II) в комплексе с органическими катионами представляет собой восемь конденсированных β -изгибов, стабилизированных ВМВС типа 4 → 1, с углами φ валиновых остатков $\pm(60-70)$. Таким образом, если повышенное значение $^3J_{\text{HN}-\text{с}^{\alpha}\text{H}}$ в комплексах депсипептида (II) с щелочными металлами действительно обусловлено стехиометрией образующегося комплекса депсипептид — катион, 2 : 1, то уменьшение $^3J_{\text{HN}-\text{с}^{\alpha}\text{H}}$ для комплексов с органическими катионами свидетельствует об эквимольности компонентов. При этом депсипептид (I) в CDCl_3 образует эквимольный комплекс как с катионами щелочных металлов, так и с органическими катионами.

Комплексообразование гексадепсипептидов (I) и (II) исследовалось в $\text{C}_2\text{D}_5\text{OH}$ методом ^1H -ЯМР-спектроскопии. На рис. 8 приведены спектры депсипептидов (I) (а) и (II) (б) при различной концентрации KSCN. В спектре ^1H -ЯМР депсипептида (I) (рис. 8а) при добавлении 3 мМ KSCN появляются сигналы, отвечающие образующемуся комплексу с $^3J_{\text{HN}-\text{с}^{\alpha}\text{H}}$ 7,9 (*L-Val*) и 5,4 Гц (*D-Val*). При увеличении концентрации KSCN происходит изменение как химических сдвигов сигналов NH, так и констант $^3J_{\text{HN}-\text{с}^{\alpha}\text{H}}$. При ~ 80 -кратном избытке KSCN константа $^3J_{\text{HN}-\text{с}^{\alpha}\text{H}}(\text{L-Val})$ от 7,9 Гц уменьшилась до 5,8 Гц (δ 7,38 м.д.), а $^3J_{\text{HN}-\text{с}^{\alpha}\text{H}}$ (*D-Val*) (5,5 Гц) практически не изменилась (δ 8,21 м.д.). Ход изменения значений химических сдвигов и интегральных интенсивностей сигналов NH, а также констант $^3J_{\text{HN}-\text{с}^{\alpha}\text{H}}$ сигналов для образующегося комплекса при увеличении концентрации соли (рис. 8а) свидетельствует об изменении конформации молекулы депсипептида в комплексе, которое связано с изменением стехиометрии комплекса. При большом избытке макроцикла образуется комплекс с соотношением макроцикла — катион 2 : 1, который переходит в эквимольный при увеличении концентрации соли. То, что даже при избытке KSCN в спектре K^+ -комpleksа соединения (I) наблюдаются сигналы

свободного десипептида, говорит о малой константе устойчивости образующегося комплекса.

Ход изменения значений химических сдвигов сигналов NH десипептида (II) при образовании им комплекса с K⁺, а также тот факт, что уже при соотношении KSCN — макроцикл, равном 0,6 : 1, в спектре ¹H-ЯМР (рис. 8б) не наблюдается сигналов свободных форм десипептида (II) и при дальнейшем увеличении концентрации KSCN в растворе не происходит изменения характеристических параметров спектра, доказывают, что десипептид (II) в C₂D₅OH образует с KSCN комплекс с соотношением макроцикла — катион 2 : 1. Аналогичный процесс комплексообразования соединения (II) наблюдается и в CD₃OH.

Спектры ¹H- и ¹³C-ЯМР калиевых комплексов десипептидов (I) и (II) в C₂D₅OH (табл. 1–3) указывают на то, что эти комплексы аналогично комплексам десипептидов (I) и (II) с щелочными металлами в CDCl₃ представляют собой одну форму с осью симметрии C₄ и с транс-конфигурацией третичных аминных связей.

Сохранение в спектре ¹H-ЯМР аномально сдвинутого в слабое поле (~4,2 м.д.) сигнала C⁹H пролиновых остатков позволяет говорить о том, что в калиевых комплексах десипептидов (I) и (II) в C₂D₅OH во фрагментах D-Hyi-D-Val-L-Pro-L-Val (I) и L-Lac-L-Val-D-Pro-D-Val (II) реализуются β-изгибы с остатком L-Pro (или D-Pro) (для десипептидов (I) и (II) соответственно) в положении i+2, стабилизированные ВМВС типа 4→1. Низкие температурные коэффициенты, наблюдаемые для сигналов NH (1,7·10⁻³ и 2,7·10⁻³ м.д./град для L-Val K⁺-комплекса десипептида (I) и D-Val K⁺-комплекса десипептида (II) соответственно) согласуются с выводом об образовании такого типа ВМВС. Невысокие значения температурных коэффициентов сигналов NH-протонов остатков D-Val (4,5·10⁻³ м.д./град, десипептид (I)) и остатков L-Val (3,5·10⁻³ м.д./град, десипептид (II)) указывают на тенденцию к этим протонов к участию в ВМВС.

Величины ³J_{HN-C⁹H} (табл. 1, 2) свидетельствуют о предпочтительности транс-ориентации боковых цепей остатков D-Val (соединение (I)) и L-Val (соединение (II)), тогда как в ориентации фрагмента C⁹H—C⁸H остатков L-Val (I) и D-Val (II) достаточно большой вклад вносит гомортамер (³J_{HN-C⁹H}~8 Гц).

Таким образом, конформация основной цепи K⁺-комплексов десипептидов (I) и (II) в C₂D₅OH и комплексов этих соединений с щелочными металлами в CDCl₃ аналогичны. Небольшая разница в величине ³J_{HN-C⁹H} для K⁺-комплекса десипептида (I) в C₂D₅OH (5,8 и 5,5 Гц для L- и D-Val) и в CDCl₃ (4,9 и 4,2 Гц для L- и D-Val, табл. 1) объясняется тем, что в C₂D₅OH даже при больших избытках KSCN наряду с эквимольным имеется «сандвичевый» комплекс, находящийся в быстром обмене с эквимольным и вносящий свой вклад в величины ³J_{HN-C} и, тогда как в CDCl₃ реализуется только эквимольный комплекс.

Для комплекса десипептида (II) с хлоргидратом гуанидина в C₂D₅OH ³J_{HN-C⁹H} равны 7,6 (D-Val) и 5,6 Гц (L-Val), однако при переходе от C₂D₅OH к CDCl₃ они уменьшаются до 4,8 и 3,6 Гц (табл. 2). Это изменение величин ³J_{HN-C⁹H} при переходе от полярного (C₂D₅OH) к слабополярному (CDCl₃) растворителю связано, очевидно, с изменением стехиометрии образующегося комплекса (от соотношения макроцикль — катион 2 : 1 к эквимольному), как это наблюдалось для комплексов десипептида (II) в CDCl₃ при переходе от ионов щелочных металлов к органическим катионам.

Таким образом, циклодесипептид (I) как с катионами щелочных металлов, так и с органическими объемными катионами образует в CDCl₃ эквимольные комплексы. В C₂D₅OH с катионами щелочных металлов наблюдается образование «сандвичевого» комплекса при большом избытке макроцикла по отношению к соли и переход этого комплекса в эквимольный при увеличении концентрации соли.

Циклодесипептид (II) с ионами щелочных металлов образует комплексы типа 2 : 1 как в C₂D₅OH, так и в CDCl₃. Вероятно, в образовании

Экстракция пикратов щелочных металлов и органических катионов из воды в хлористый метилен в присутствии соединений (I) и (II)

Катион	Концентрация катиона · 10 ⁴ , М	Степень экстракции *, %		Катион	Концентрация катиона · 10 ⁴ , М	Степень экстракции *, %	
		(I)	(II)			(I)	(II)
K ⁺	2	19	19	(CH ₃) ₄ N ⁺	2	57	43
	4	24	23		4	60	48
	8	31	29		8	65	53
	40	48	40		40	77	66
Rb ⁺	2	27	20	Gu ⁺	2	61	68
	4	33	26		4	66	72
	8	41	31		8	71	80
	40	55	45		40	82	83
Cs ⁺	2	31	24	AcCh ⁺	2	67	51
	4	38	29		4	71	56
	8	45	35		8	75	61
	40	60	48		40	88	80
NH ₄ ⁺	2	45	—				
	4	50	—				
	8	56	—				
	40	70	—				

$$* \text{Степень экстракции} = \frac{C_{\text{компл.}} \text{ в } \text{CH}_2\text{Cl}_2}{C \text{ макроцикла}} \cdot 100.$$

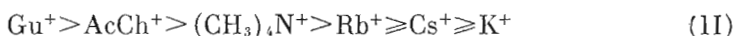
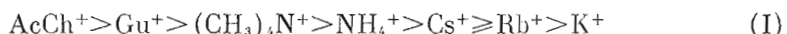
комплексов участвуют сольватированные катионы. При переходе к объемным органическим катионам, таким, как (CH₃)₄N⁺, гуанидиний, ацетилхолин, в CDCl₃ депсипептид (II) образует эквимолярные комплексы. В схематическом виде характер конформационных перестроек соединений (I) и (II) при комплексообразовании представлен на рис. 7 и 4 соответственно.

Кривые КД соединений (I) и (II) в 96% C₂H₅OH существенно изменяются при добавлении солей щелочных металлов (рис. 2a, б). Поэтому мы предприняли попытку получить дополнительные данные о стехиометрии и устойчивости соответствующих комплексов, контролируя титрование депсипептидов (I) и (II) солями Na, K, Rb и Cs методом КД. Однако выяснилось, что все кривые титрования (за исключением кривой титрования депсипептида (II) CsCl) имеют немонотонный характер; первоначальный ход кривой обращает знак при соотношении соль — макроцикл, варьирующемся от 0,05 до 0,6, т. е. не отвечающем какой-либо определенной стехиометрии. Аналогичное явление описано в предыдущем сообщении [1] для L-пролинсодержащего дodekaproизводного. По-видимому, изменения спектров КД отражают одновременное протекание двух процессов: образование комплекса и его конформационную перестройку, вызванную изменением сольватирующей способности растворителя, при добавлении соли. Изменчивость пространственной структуры депсипептидов (I) и (II) при смене растворителя отмечалась выше при обсуждении спектров ¹H-ЯМР. Ввиду отсутствия методов оценки вкладов каждого из указанных процессов метод КД не удалось использовать для определения устойчивости комплексов.

Аналогичные трудности встретились при интерпретации данных кондуктометрического исследования соединений (I) и (II). Добавление макроциклов к растворам хлоридов щелочных металлов снижало электропроводность растворов, что свидетельствует об образовании достаточно устойчивых комплексов. Однако полученные данные не позволяют сделать однозначного вывода о стехиометрии образующихся комплексов.

Результаты экстракционных опытов, характеризующих способность депсипептидов (I) и (II) переносить ионы щелочных металлов и органические катионы в органическую фазу (хлористый метилен), приведены в табл. 8. Депсипептиды (I) и (II) являются эффективными ионо-

форами и по своей солюбилизирующей способности весьма сходны с гексадекаизолейциномицином [4]. Как и в случае гексадекаизолейциномицина, увеличение размера цикла в случае пролинсодержащих гексадеканалогов валиномицина вызывает смещение ионной селективности в сторону объемных органических катионов. Степень экстракции этих катионов достигает 70–90% (табл. 8). Были получены ряды ионной селективности для депептидов (I) и (II):



Степень экстракции пикратов щелочных металлов существенно ниже, чем органических катионов. При этом если для соединения (I) сохраняется ряд ионной селективности, присущий гексадекаизолейциномицину [4], и степень экстракции катионов достигает 50% (K^+), 55 (Rb^+), 60 (Cs^+) и 70% (NH_4^+) (табл. 8), то соединение (II) практически не проявляет селективности и степень экстракции катионов щелочных металлов этим депептидом не превышает 50%. Наблюдаемое различие экстракции ионов соединениями (I) и (II) хорошо согласуется с выводами о стехиометрии комплексов, полученными в результате ЯМР-исследования.

Экспериментальная часть

Синтез соединений (I) и (II) описан в работе [5]. Условия измерения спектров ИК, КД и методика проведения экстракции даны в работе [4].

Спектры ^1H -ЯМР получены на спектрометре фирмы Varian SC-300 (США) и WM-500 (Bruker, ФРГ), спектры ^{13}C -ЯМР — на спектрометрах CFT-20 (20 МГц) и XL-100/15 (25, 16 МГц) (Varian, США).

Химические сдвиги сигналов измерены относительно внутреннего стандарта тетраметилсилона. Температура образца в датчике поддерживалась с точностью $\pm 1^\circ\text{C}$. Используемые растворители получены от фирмы «Изотоп» (СССР) и Stohler Isotope Chemicals (США).

Растворы комплексов депептидов получены в $\text{C}_2\text{D}_5\text{OH}$ при добавлении ~10–20-кратного избытка солей (в мольном соотношении), с лиофилизацией полученного комплекса и последующим экстрагированием его CDCl_3 , а также при непосредственном добавлении сухих солей в ампулу с раствором депептидов в CDCl_3 .

Уширение сигналов NH (Гц/моль) при добавлении раствора иминоксильного радикала (2,2,6,6-тетраметилпиперидин-1-оксил) рассчитывалось на линейном участке уширения при изменении концентрации стабильного радикала от 0 до ~5 мМ.

Отнесение сигналов в спектрах ^1H -ЯМР к типу остатков осуществлено методом гомоядерного мультирезонанса, отнесение сигналов к определенному остатку — с помощью регистрации ядерного эффекта Оверхаузера, как в работах [13, 14]. Эксперимент по измерению ЯЭО проводили с использованием импульсной последовательности

$$(-t_1(\omega_A) - 90^\circ - t_2 - t_3 - t_1(\omega_{\text{off-res}}) - 90^\circ - t_2 - t_3)_n.$$

Селективное радиочастотное поле ω_A накладывалось на сигнал А во время t_1 , после которого сразу же следовал импульс наблюдения и регистрировался спектр (t_2 — время регистрации спектра). После времени $t_1(\omega_{\text{off-res}})$ регистрировали спектр без ЯЭО ($\omega_{\text{off-res}}$ — селективное радиочастотное поле сдвинуто от сигнала А на величину ~2–4 м.д.). t_3 — временная пауза для достижения равновесного состояния ядерной намагниченности. Накопление обоих спектров проводили попеременно для минимизации инструментальных дрейфов. Разностный спектр получали вычитанием спада свободной индукции с ЯЭО из спада свободной индукции без ЯЭО.

Отнесение сигналов с помощью ЯЭО

Концентрация исследуемого образца десипептида (I) ~5 мМ, соотношение $\text{CCl}_4-\text{CDCl}_3$ 9 : 1, температура 30° С, отрицательный ЯЭО.

В ^1H -ЯМР-спектре десипептида (I) наблюдаются четыре сигнала NH при 6,61; 7,26; 7,48 и 7,91 м.д. и сигналы соответствующих им $\text{C}^{\alpha}\text{H}$ валиновых остатков при 4,01; 4,77; 4,01 и 3,82 м.д. Два дублета при 4,44 и 5,68 м.д.— сигналы $\text{C}^{\alpha}\text{H}$ D-Hui-остатков, а сигналы при 4,07 и 4,55 м.д. отвечают сигналам $\text{C}^{\alpha}\text{H}$ L-Pro-остатков. При 3,52 и 4,14 м.д. и 3,15 и 3,29 м.д. находятся сигналы протонов $\text{C}^{\delta}\text{H}_2$ -групп L-Pro-остатков.

При облучении сигнала $\text{C}^{\delta}\text{H}_2$ -группы остатков L-Pro (3,52 м.д., $\text{C}^{\delta}\text{H}$) возникает ЯЭО (13,5%) на сигнале при 4,14 м.д. ($\text{C}^{\delta}\text{H}$ L-Pro) (табл. 6). Следовательно, сигналы при 3,52 и 4,14 м.д. относятся к одной $\text{C}^{\delta}\text{H}_2$ -группе остатка L-Pro. Кроме того, ЯЭО (4%) наблюдается на $\text{C}^{\alpha}\text{H}$ (3,82 м.д.) одного из валиновых остатков, что позволяет отнести сигнал при 3,82 м.д. к сигналу от $\text{C}^{\alpha}\text{H}$ соседнего (предыдущего (*i*-1-го)) D-Val-остатка и указывает на транс-конфигурацию третичной амидной связи между D-Val^{1,9} и L-Pro^{2,10} *. ЯЭО (5%) на сигнале при 1,95 м.д. позволяет отнести этот сигнал к $\text{C}^{\beta}\text{H}_2$ остатков L-Pro^{2,10}.

Насыщая сигнал $\text{C}^{\delta}\text{H}$ (L-Pro^{2,10}) при 4,14 м.д., регистрируем ЯЭО на сигнале $\text{C}^{\delta}\text{H}$ (3,52 м.д.) и на $\text{C}^{\beta}\text{H}_2$ (1,95 м.д.) L-Pro^{2,10}. ЯЭО на $\text{C}^{\alpha}\text{H}$ при 3,82 м.д. подтверждает отнесение его к группе $\text{C}^{\alpha}\text{H}$ остатка D-Val^{1,9}. Кроме этого, наблюдается ЯЭО на сигнале NH при 7,26 м.д. Следовательно, сигнал при 7,26 м.д. является сигналом NH остатка L-Val^{3,11}, участвующего в BMBC типа 4→1, стабилизирующей β-изгиб фрагмента D-Hui^{16,8}-D-Val^{1,9}-L-Pro^{2,10}-L-Val^{3,11} с транс-конфигурацией третичной амидной связи D-Val^{1,9}-L-Pro^{2,10}.

При облучении $\text{C}^{\delta}\text{H}$ (L-Pro) при 3,15 м.д. появляется ЯЭО на $\text{C}^{\delta}\text{H}$ при 3,29 м.д. и при 1,9 и 2,0 м.д.— сигналы $\text{C}^{\beta}\text{H}_2$ -группы остатков L-Pro^{6,14}. При насыщении сигнала $\text{C}^{\delta}\text{H}$ (L-Pro) при 3,29 м.д. наблюдается ЯЭО на сигнале при 3,15 м.д. (группа $\text{C}^{\delta}\text{H}_2$ остатков L-Pro^{6,14}), на сигналах при 1,9 и 2,0 м.д. ($\text{C}^{\beta}\text{H}_2$ -группа остатков L-Pro^{6,14}) и на сигнале при 2,25 м.д. (C^{β}H остатков D-Val^{1,9}). Так как на сигнале $\text{C}^{\alpha}\text{H}$ (D-Val^{5,13}) ЯЭО нет, можно заключить, что связь D-Val^{5,13}—L-Pro^{6,14} имеет цис-конфигурацию.

Насыщение сигналов NH-протонов. Сигнал NH при 7,91 м.д. относится к D-Val^{1,9}. При насыщении этого сигнала наблюдается ЯЭО на собственном $\text{C}^{\alpha}\text{H}$ при 3,82 м.д. (D-Val^{1,9}) и на $\text{C}^{\alpha}\text{H}$ остатка D-Hui при 5,68 м.д., что позволяет отнести этот сигнал к $\text{C}^{\alpha}\text{H}$ (D-Hui^{8,16}). ЯЭО на сигнале при 2,28 м.д. подтверждает отнесение этого сигнала к C^{β}H остатков D-Val^{1,9}.

Сигнал NH при 7,26 м.д. отнесен к L-Val^{3,11}. При насыщении этого сигнала регистрируется ЯЭО на собственном $\text{C}^{\alpha}\text{H}$ (L-Val^{3,11}) при 4,77 м.д., на сигналах при 2,32 м.д. (C^{β}H L-Val^{3,11}) и 1,95 м.д. ($\text{C}^{\beta}\text{H}_2$ и $\text{C}^{\delta}\text{H}_2$ L-Pro^{2,10}). ЯЭО (~0,7%) наблюдается также на $\text{C}^{\delta}\text{H}$ остатков L-Pro^{2,10} при 4,14 м.д., что подтверждает отнесение сигнала NH при 7,26 м.д. к остатку L-Val^{3,11}. ЯЭО (~0,5%) появляется на сигнале протона $\text{C}^{\alpha}\text{H}$ (L-Pro) при 4,55 м.д. (L-Pro^{2,10}) и $\text{C}^{\alpha}\text{H}$ (D-Hui) при 5,68 м.д. (D-Hui^{8,16}).

При насыщении сигнала NH при 7,48 м.д. в спектре наблюдается ЯЭО на сигнале $\text{C}^{\alpha}\text{H}$ этого же остатка при 4,01 м.д. и на сигнале $\text{C}^{\alpha}\text{H}$ (~5,5%) L-Pro при 4,07 м.д. ЯЭО на сигнале $\text{C}^{\alpha}\text{H}$ остатка L-Pro позволяет отнести этот сигнал к $\text{C}^{\alpha}\text{H}$ L-Pro^{6,14}, а сигнал NH при 7,48 м.д.—к NH остатка L-Val^{7,15}.

Насыщая сигнал NH при 6,61 м.д., имеем ЯЭО на $\text{C}^{\alpha}\text{H}$ при 4,01 м.д. и на сигнале при 2,13 м.д. Сигналы при 6,61; 4,01; 2,13 м.д. относятся к NH, $\text{C}^{\alpha}\text{H}$ и C^{β}H (D-Val^{5,13}).

Отнесение сигналов в форме А десипептида (I). Концентрация исследуемого образца десипептида (I) ~5 мМ, растворитель— CDCl_3 , температура –30° С, отрицательный ЯЭО.

Насыщая сигнал NH при ~7,5 м.д., регистрируем ЯЭО на сигнале при 4,35 м.д. ($\text{C}^{\alpha}\text{H}$ этого же остатка) и при 5,23 м.д. ($\text{C}^{\alpha}\text{H}$ остатка D-Hui). Следовательно, сигнал при 7,5 м.д. относится к NH остатка D-Val. При

* См. примечание на с. 445.

насыщении сигнала NH при $\sim 7,8$ м.д. наблюдается ЯЭО при $\sim 4,4$ и $4,7$ м.д. Эти сигналы относятся к группам C⁶H остатков L-Val и L-Pro. Сигнал при $\sim 7,8$ м.д. является сигналом NH-протона остатка L-Val.

K⁺-комплекс десипептида (I). Концентрация исследуемого образца 60 мМ, растворитель — CDCl₃, температура 42° С, положительный ЯЭО (300 МГц). При насыщении C⁶H (L-Pro) при 3,65 м.д. появляется ЯЭО (3,5%, табл. 7) на сигнале C⁶H валинового остатка при 3,93 м.д. (этот C⁶H относится к D-Val-остатку), а также при 4,07 м.д. (C⁶H L-Pro) и 4,75 м.д. (C⁶H L-Pro).

Отнесение сигналов к определенным остаткам в десипептиде (II) и его K⁺-комплексе. Концентрация десипептида (II) 2 мМ, соотношение растворителей CCl₄—CDCl₃ 5 : 1, температура —30° С, отрицательный ЯЭО.

При насыщении сигнала при 3,55 м.д. (C⁶H D-Pro) наблюдается ЯЭО (30%, табл. 5) на сигнале при 4,28 м.д. (C⁶H D-Pro) и на сигнале C⁶H валинового остатка (8%) при 3,99 м.д. Следовательно, сигнал C⁶H валинового остатка при 3,99 м.д. относится к остаткам L-Val^{3,7,11,15}.

При насыщении сигнала NH остатков L-Val при 8,12 м.д. (сигнал C⁶H остатка L-Val находится при 3,99 м.д.) возникает ЯЭО (8%) на C⁶H (L-Lac) при 5,30 м.д., что подтверждает отнесение сигнала NH при 8,12 м.д. к остаткам L-Val^{3,7,11,15}.

При насыщении сигнала NH при 7,27 м.д. наблюдается ЯЭО (2,5%) на сигнале C⁶H (D-Pro) при 4,57 м.д., т. е. сигнал при 7,27 м.д. относится к остаткам D-Val^{1,5,9,13}.

Концентрация K⁺-комплекса десипептида (II) 2 мМ, растворитель — CDCl₃, температура —40° С, отрицательный ЯЭО.

При насыщении сигнала C⁶H D-Pro при 3,60 м.д. появляется ЯЭО (22%, табл. 7) на сигнале при 4,22 (C⁶H D-Pro) и 3,89 м.д. (7%). Таким образом, сигнал C⁶H при 3,89 м.д. можно отнести к L-Val-остаткам.

При насыщении сигнала NH остатков L-Val при 8,23 м.д. (сигнал C⁶H L-Val находится при 3,89 м.д.) наблюдается ЯЭО (5%) на сигнале C⁶H остатков L-Lac при 5,37 м.д., что подтверждает отнесение сигнала при 8,23 м.д. к NH L-Val-остатков.

При насыщении сигнала NH при 7,48 м.д. возникает ЯЭО ($\sim 1,5\%$) на сигнале при 4,48 м.д. — сигнал C⁶H D-Pro. Это позволяет отнести сигналы при 7,48 и соответственно при 3,91 м.д. к протонам NH и C⁶H остатков D-Val.

Отнесение ¹³C⁶-сигналов в спектрах ¹³C-ЯМР к определенному типу остатков осуществлено при помощи внerezонансного облучения.

Отнесение сигналов ¹³CO к вторичным, третичным амидным или сложноэфирным группам проведено при помощи изотопного сдвига регистрируемых сигналов при 50%-ном обмене NH → ND. Отнесение сигналов ¹³CO к определенному типу остатка выполнено с помощью селективного мультирезонанса ¹³C{¹H}, как в работах [4, 13, 19].

ЛИТЕРАТУРА

1. Балашова Т. А., Фонина Л. А., Гуревич А. З., Старовойтова Н. В., Сенявинс Л. Б., Авотинь Г. Я., Иванов В. Т., Овчинников Ю. А. Биоорганическая химия, 1983, т. 9, № 7, с. 883–899.
2. Иванов В. Т., Фонина Л. А., Сенявина Л. Б., Виноградова Е. И., Овчинников Ю. А., Червин И. И., Яковлев Г. Я. Биоорганическая химия, 1975, т. 1, № 1, с. 5–16.
3. Eisenman G., Krasne S. I. In: MTP International Review of Science/Ed. Fox C. F. London: Butterworths, 1973, v. 2, p. 27–59.
4. Фонина Л. А., Авотинь Г. Я., Балашова Т. А., Старовойтова Н. В., Сенявина Л. Б., Савелов И. С., Быстров В. Ф., Иванов В. Т., Овчинников Ю. А. Биоорганическая химия, 1980, т. 6, № 9, с. 1285–1302.
5. Авотинь Г. Я., Фонина Л. А., Иванов В. Т., Овчинников Ю. А. Биоорганическая химия, 1978, т. 4, № 5, с. 581–589.
6. Иванов В. Т., Лайне И. А., Абдулаев Н. Д., Плетнёв В. З., Липкинд Г. М., Архипова С. Ф., Сенявина Л. Б., Мещерякова Е. Н., Попов Е. М., Быстров В. Ф., Овчинников Ю. А. Химия природных соединений, 1971, № 3, с. 221–246.
7. Dorman D. E., Bovey F. A. J. Org. Chem., 1973, v. 38, № 13, p. 2379–2383.
8. Voelter W., Oster O. Org. Mag. Res., 1973, v. 5, p. 547–548.
9. Siemon L. Z., Wieland Th., Pöck K.-H. Angew. Chem., 1975, v. 87, № 19, p. 712–713.
10. Kopple K. D., Go A. J. Amer. Chem. Soc., 1977, v. 99, № 23, p. 7698–7704.

11. Smith J. A., Pease L. G. CRC Critical Reviews in Biochemistry, 1980, v. 8, p. 315–400.
12. Poglian L., Ellenberger M., Valat J., Bellocq A. M. Int. J. Pert. and Protein Res., 1975, v. 7, p. 345–360.
13. Балашова Т. А., Фонина Л. А., Гуревич А. З., Старовойтова Н. В., Сенявина Л. Б., Авотина Г. Я., Иванов В. Т., Овчинников Ю. А. Биоорганическая химия, 1982, т. 8, № 11, с. 1462–1473.
14. Billeter M., Beaun W., Wüthrich K. J. Mol. Biol., 1982, v. 155, № 3, p. 321–346.
15. Leach S. J., Nemethy G., Scheraga H. A. Biochem. and Biophys. Res. Commun., 1977, v. 75, № 1, p. 207–215.
16. Kuo M., Gibbons W. A. J. Biol. Chem., 1979, v. 254, № 14, p. 6278–6287.
17. Khaled M. A., Urry D. W. Biochem. and Biophys. Res. Commun., 1976, v. 70, № 2, p. 485–491.
18. Chandrasekaran R., Lakshminarayanan A. V., Pandya U. V., Ramachandran G. N. Biochim. et biophys. acta, 1973, v. 303, № 1, p. 14–27.
19. Bystrov V. F., Gavrilov Yu. D., Ivanov V. T., Ovchinnikov Yu. A. Eur. J. Biochem., 1977, v. 78, № 1, p. 63–82.

Поступила в редакцию
27.IX.1983:

**STRUCTURE-ACTIVITY RELATIONSHIP FOR CYCLIC DEPSIPEPTIDES
OF VALINOMYCIN SERIES. XI. [*L*-Pro², *L*-Pro⁶, *L*-Pro¹⁰, *L*-Pro¹⁴]-
AND [*D*-Pro⁴, *D*-Pro⁸, *D*-Pro¹², *D*-Pro¹⁶]HEXADECACAVALINOMYCINS**

{BALASHOVA T. A., FONINA L. A., SENYAVINA L. B., STAROVITOVA N. V.,
{AVOTINA G. Ya., IVANOV V. T., OVCHINNIKOV Yu. A. .

*M. M. Shemyakin Institute of Bioorganic Chemistry, Academy
of Sciences of the USSR, Moscow*

Conformational and ionophoric properties of valinomycin analogues *cyclo*[-(*D*-Val-*L*-Pro-*L*-Val-*D*-Hyi)₄-] (I) and *cyclo*[-(*D*-Val-*L*-Lac-*L*-Val-*D*-Pro)₄-] (II) were studied by spectral and extraction methods. A composite conformational equilibrium for the uncomplexed forms, both with *trans* and *cis* configuration of Val-Pro bond, is observed for these hexadecadepsipeptides. The replacement of all *D*-Hyi by *D*-Pro residues in hexadecacavalinomycin leads to preference of *cis* configuration for the tertiary peptide bond in polar solvents. Similar replacement of *L*-Lac by *L*-Pro makes preferable *cis* configuration of the tertiary peptide bond in any polar media, and gives rise to conformers found neither in valinomycin nor in its hexadeca analogue. The solution conformations for the predominant forms of these depsipeptides are proposed. Both proline-containing hexadeca analogues of valinomycin are fairly effective complexones forming the complexes of 2:1 stoichiometry with alkali ions. The symmetric 1:1 complexes are formed by title compounds with such organic cations as guanidinium, acetylcholine, or tetramethylammonium. A high ionic selectivity for alkali cations was revealed using their extraction from the aqueous into organic phase with the aid of either of two depsipeptide analogues.